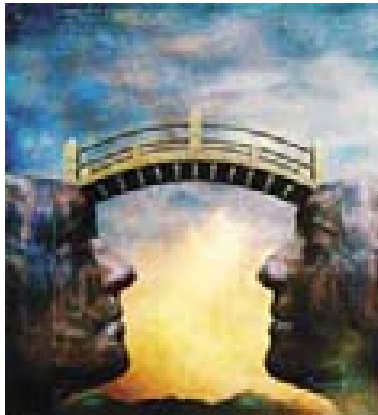


الجامعة التكنولوجية
قسم هندسة البناء و الإنشاء
فرع هندسة الطرق والجسور

محاضرات الفصل الثاني
للعام الدراسي 2008-2009

المرحلة الرابعة
تصاميم الجسور الكونكريتية



أالجسور المعلقة Suspension Bridges



Golden Gate Bridge, San Francisco, USA, 1937.

تتكون الجسور المعلقة من قابلوين (Two Cables) رئيسيين
معلقان على أبراج (Towers) . وتنتهي القابلات الرئيسيه
عند الاطراف بمثبتات خرسانيه عملاقه تسمى (Anchorages)
تعلق المنجبه (Deck) باستخدام كبلات ثانويه عديده
(Secondary Cables) تربط بينها وبين القابلوين الرئيسيين
{ or Hangers }



Clifton Bridge, Bristol, England

جسر كلفتون - في برستون - انكلترا
 تُستعمل الجسور المعلقة في الأماكن التي يصعب (أو يكون ذو كلفة
 باهظة) إنشاء مساند وسطية (piers).

أسلوب عمل الجسور المعلقة
 إنشائياً تحمل الجسور المعلقة أحمال المرور بالطريقة التالية:-

The diagram illustrates the structural behavior of a suspension bridge. It shows a horizontal deck supported by two vertical towers. The deck is connected to the towers by two main suspension cables. The diagram includes several numbered points: 1 and 2 are at the deck level near the right tower; 3 and 4 are at the top of the right tower; 5 and 5' are at the top of the left tower. Arrows indicate the direction of forces and moments, showing how the load from the deck is transferred through the cables to the towers and then to the ground.



Mackinac Bridge, Michigan, USA.

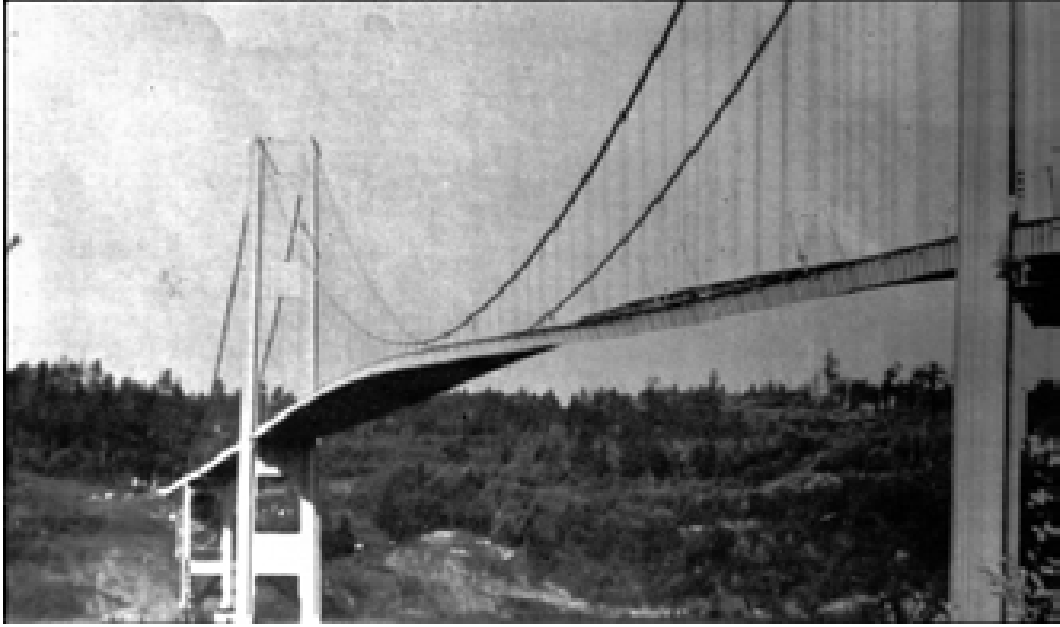
جسر ماكيناك - ميشيغان - امريكا
ويُعتبر من الجسور المعلقة الطويلة في العالم ، حيث يبلغ طول الجسر
الكلي 2.5 كيلومتر . وهنا نجد ملاحظة ان القطعة الوسطى من الجسر
هي المعلقة فقط ، وليس الجسر كله . اضافة لذلك ، فإن أطول جسر
معلق في العالم قد تم انشاؤه في اليابان عام 1998 ويبلغ طوله
1991 متر . وتجري حالياً دراسات لتقييم جسر بفضارات أطول .

① الاعمال وكشمل ، اعمال المرور ، الاعمال الميثة ، الاعمال القديمة ، اعمال الرباع .
② عمل الاعمال بواسطة المنصة .
③ عمل المنصة بواسطة القابلات التآزيمية .
④ انتقال الاعمال الى القابلات الرئيسية .
⑤ (5+) نقل الاعمال الى البرج والمنتجعات .



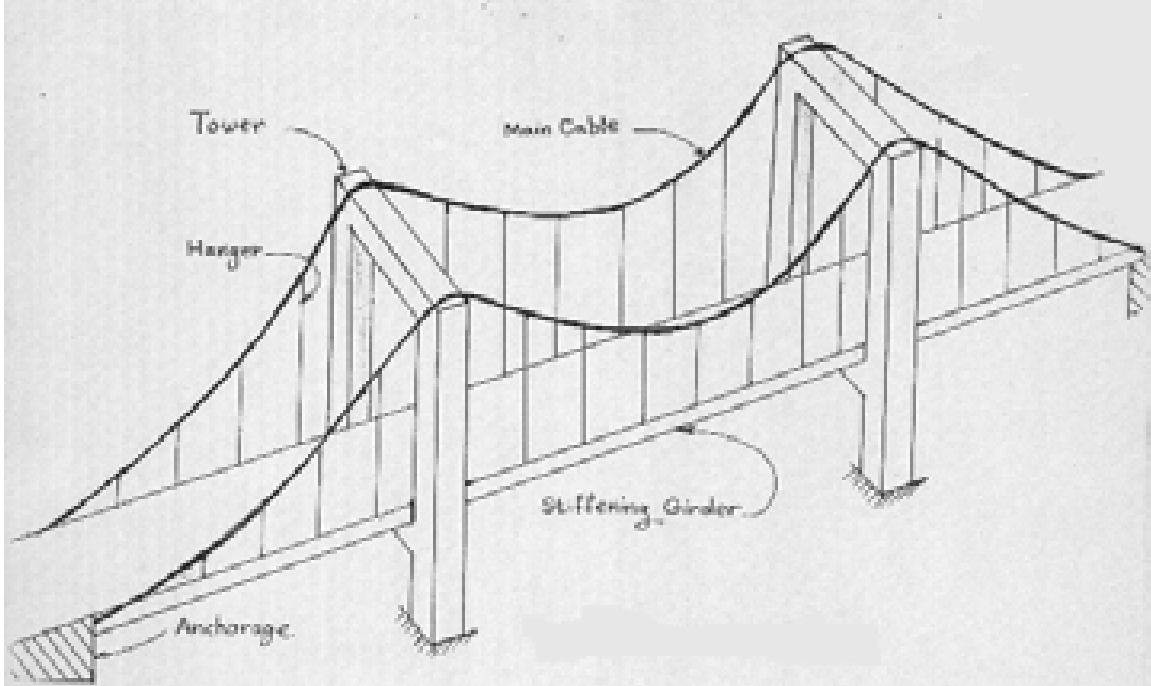
George Washington Bridge, New York, USA.

جسر جورج واشنطن - يربط نيويورك مع نيويورك - امريكا .
أحد الجسور المعلقة الطويلة ذات المصنعات المعدنية . ويكاز بان
لهذا الجسر طابقيته .
من كثير من الاميان يتم تنفيذ مصنعات الجسور المعلقة باستخدام
المعادن او السبائك وذلك لكونها خفيفة الوزن مقارنة مع المقام
الخرسانية ، الا ان هذه ليست قاعدة وانما توجد جسور معلقة
كثيرة ذات مصنعات خرسانية ذات مقاطع هندسية وغالبا
ما يتم استخدام الخرسانة مسبقة الصبة او الالفة الافراد
لربط قطع المنصبة مع بعضها وهذا ما يسمى ب *Segmental Bridge* .



Tacoma Narrows Bridge, Washington, USA.

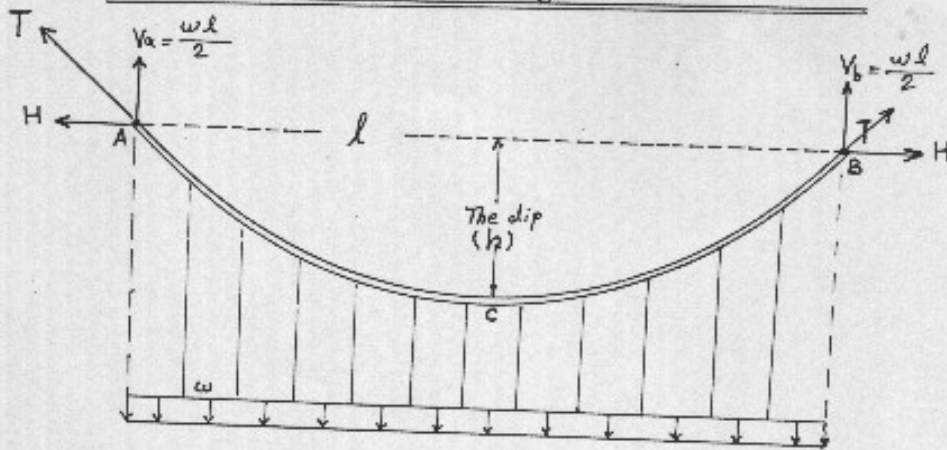
إنهار جسر تاكوما - واشنطن - أمريكا .
 بلغ جسر تاكوما المعلق 1810 متر . استغرق انشائه عامين ، وتم
 افتتاحه في 1/7/1940 . بعد مرور اربعة اشهر من افتتاحه انهار
 الجسر بسبب عاصفه بلغت فيها سرعة الرياح 68 كيلومتر/الساعة .
 وكان سبب الكارثة خطأ في التصميم فبدلاً من السماح للرياح من
 المرور عبر الجسر تم تصميم المرافد لكي تكون مصداً للرياح مما
 سبب اهتزازات قوية في المنصة حيث كان يرتفع جانب من اخر
 عنه اقل مما سبب في انهيار الجسر وسقوطه في النهر .
 بعد في الجسر القديم قد شهدنا تغيرات الرياح . ولكن في الجسر المعلق ركزنا
 ذات فصاعاد طويلة ((اليجيب)) حسب تأثير الرياح بدقت حين التصميم



Typical Suspension Bridge.

تعرف المصانيف على شكل القابلو الرئيسي (Main Cable) من التغيير بسبب
 الاموال المتحركة على الجسر ، يُستخدم رافد صلب (Stiffening Girder) لكل جسر من جسر المصانيف .
 يتألف الرافد الواحد من عظميتين مرتبعتين مفضلياً مع بعضهما ومع الجسر بواسطة
 ثلاثة مفاصل . العزم من المفاصل هو لفعل احمال المرور من المصانيف الى القابلو الرئيسي
 بشكل منتظم القذيع تقريباً وذلك في مواقع المفاصل بالدرجة الاساس . وليس
 على اعتماد الرافد لصلادته العاليه . كما يرتبط الرافد الصلب مع القابلو الرئيسي
 بقابلات متقاربة ثانوية (hangers) .
 يسمى القابلو الرئيسي في الفضاء الوسطي للجسر بقابلو التعليق (Suspension Cable)
 بينما يسمون في الاطراف قابلو التثبيت (Anchorage Cable) رغم انه نفس القابلو .
 ويمر القابلو الرئيسي فوق الابراج (Towers) عبر بكرات متحركة (Guide pulley)
 لتسهيل عملية السحب و طبع الاحتكاك . وكما سيتم تحليله لاحقاً .

① Cable carrying a uniformly distributed load



$$\sum M_C = 0$$

$$Hh + w \frac{l}{2} \times \frac{l}{4} - \frac{wl}{2} \times \frac{l}{2} = 0 \Rightarrow \boxed{H = \frac{wl^2}{8h}} \dots \text{①}$$

هذه معادلة قوة الشد الأفقي (H) للقابلو تحت تأثير حمل منتظم التوزيع (w).

Max. Tension of the Cable (T)

$$T = \sqrt{\left(\frac{wl}{2}\right)^2 + \left(\frac{wl^2}{8h}\right)^2} \Rightarrow \boxed{T = \frac{wl}{2} \sqrt{1 + \frac{l^2}{16h^2}} \dots \text{②}$$

هذه معادلة الشد (T) في القابلو ويكون بأقصى ما يمكن عند المسدين A و B، وتقل تدريجياً حيث يبلغ ادناه في منتصف الفضاء (C) وذلك لعدم وجود مركبه شاقوليته وإنما شد أفقي فقط ويساوي (H).

② The shape of a Loaded Cable

$$dy = \frac{wx}{H} dx$$

$$y = \frac{wx^2}{2H}$$

هذه معادلة شكل القابلو

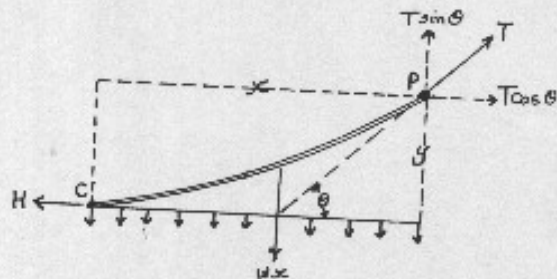
$$y = \frac{wx^2}{2} \times \frac{8h}{wl^2}$$

$$y = \frac{4h}{l^2} x^2$$

هذه معادلة مسار القابلو على افتراض أن C هي نقطة الاصل

$$y = \frac{4h}{l^2} x(x-l)$$

هذه معادلة مسار القابلو على افتراض أن A و B هي نقطتي الاصل



$$T \sin \theta = wx$$

$$T \cos \theta = H$$

$$\tan \theta = \frac{wx}{H} = \frac{dy}{dx}$$

③ Length of the Cable (L) :-

$$L = l + \frac{8h^2}{3l} \quad \text{----- ③} \quad \text{هذه معادلة حساب طول القابلو}$$

مثال: اوجد أطول قضبان يمكن ان يمتد فيه قابلو ذو dip $h = \frac{l}{10}$ اذا كان اجزاء الشد المسووح به للتجاوز 1500 kg/cm^2 . وان وزن الحديد يساوي 7800 kg/m^3 .

$$L = l + \frac{8h^2}{3l} = \frac{308}{300} l$$

Let the area of the cable be $A \text{ cm}^2$

$$\text{Weight of the cable} = W = \frac{308}{300} l \times \frac{A}{100^2} \times 7800$$

$$W = 0.8008 Al \text{ kg}$$

$$\text{Each vertical reaction} = V = \frac{W}{2}$$

$$\text{Horizontal reaction} = H = \frac{Wl}{8h} = \frac{W}{8} \times 10 = \frac{5}{4} W$$

$$\begin{aligned} \text{Max. Tension} = T_{\max} &= \sqrt{V^2 + H^2} \\ &= \sqrt{\left(\frac{W}{2}\right)^2 + \left(\frac{5W}{4}\right)^2} = 1.35W \\ &= 1.35 \times 0.8008 Al \text{ kg} \end{aligned}$$

$$\text{Max. stress} = \frac{T_{\max}}{A} = f_{\max}$$

$$\therefore 1.35 \times 0.8008 l = 1500$$

$$\therefore l = \frac{1500}{1.35 \times 0.8008} = 1370 \text{ m}$$

وهذا هو أطول قضبان يمكن ان يمتد فيه القابلو المذكور .

$$L = \frac{308}{300} \times 1370 = 1406.5 \text{ m}$$

$$h = 1370/10 = 137 \text{ m}$$

* الطول الكلي للقابلو L يساوي

④ Cable passed over guide pulley at the support

$$T = \sqrt{V_A^2 + H^2}$$

$$\tan \beta = \frac{V_A}{H}$$

Total vertical load transmitted

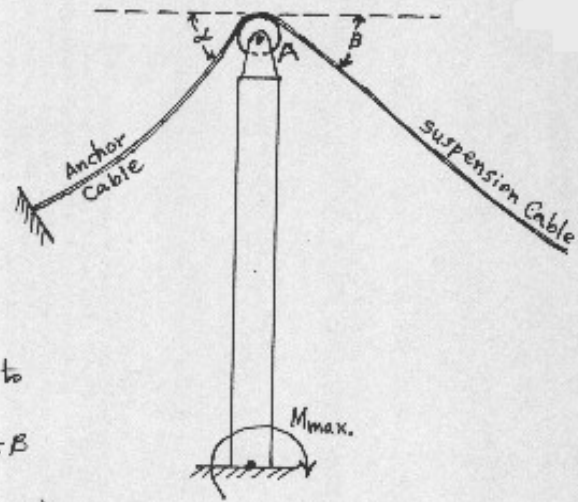
to the pier = $T \sin \alpha + T \sin \beta$

$$= T(\sin \alpha + \sin \beta)$$

Net horizontal force transmitted to

the top of the pier = $T \cos \alpha - T \cos \beta$

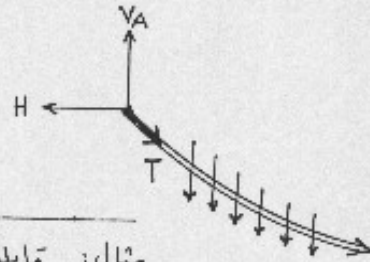
$$= T(\cos \alpha - \cos \beta)$$



∴ Max. B.M. for the pier

= Net horizontal force at the top

of the pier × Height of the pier



مثال: قابلو معلق بقطر $l=150m$ ومدلين بقطر $h=15m$ يصل

انقالت بقطر $w=0.6 t/m$. جد مقدار اقصى شد في القابلو ومقدار ميلانه عند الاطراف .

واوجد مقدار القوى الشاقولية المنقولة الى الاطراف (V_A) . علماً بان ميل قابلو التثبيت (Anchor Cable)

يصل بزوايه $\alpha=30^\circ$ عن الرصيف . واذا كان ارتفاع البرج $20m$ ، جد مقدار اقصى عزم انحناء للبرج .

$$V_A = \frac{wl}{2} = \frac{0.6 \times 150}{2} = 45 t$$

$$H = \frac{wl^2}{8h} = \frac{0.6 \times 150^2}{8 \times 15} = 112.5 t$$

$$T_{max} = \sqrt{V_A^2 + H^2} = \sqrt{45^2 + 112.5^2} = 121.2 t$$

$$\tan \beta = \frac{V_A}{H} = \frac{45}{112.5} = 0.4$$

$$\tan^{-1} 0.4 = \beta = 21^\circ 48'$$

Total vertical load transmitted to the pier = $T \sin 30^\circ + T \sin 21^\circ 48' = 105.1 t$

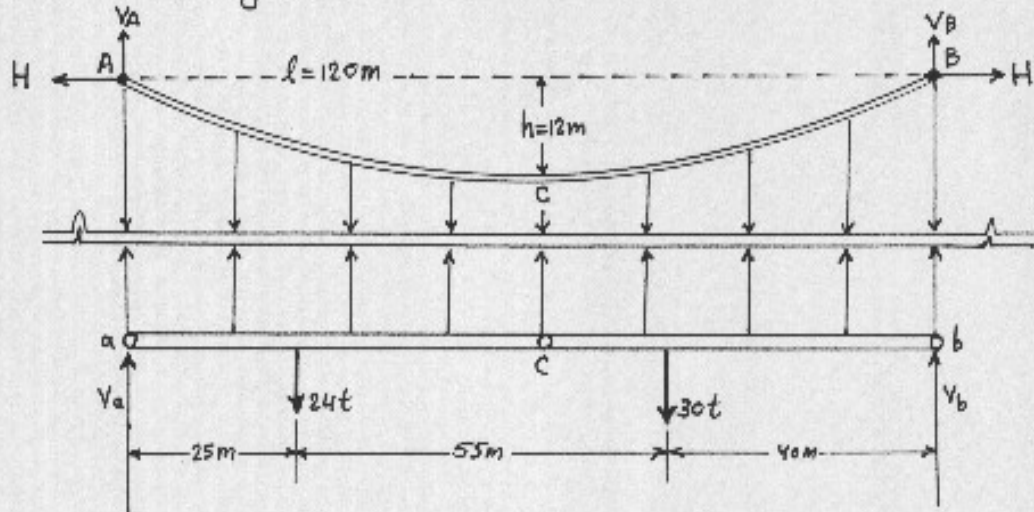
Net horizontal load transmitted to the pier = $T \cos 21^\circ 48' - T \cos 30^\circ = 7.6 t$

Max. B.M. for the pier = $7.6 \times 20 = 152 t \cdot m$

مثال: في الجسر المعلق الموضح ادناه، أوجد ما يلي :-

1- اعمد قوة شد مطلوبة لسحب القابل الرئيسي.

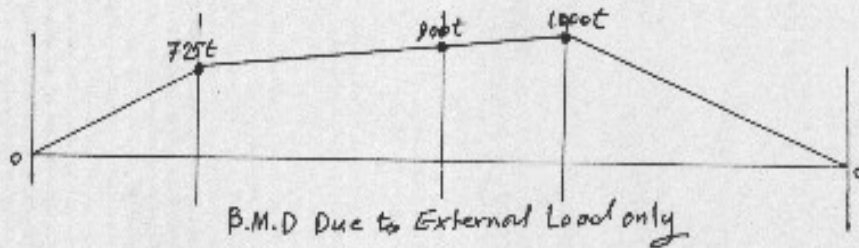
2- ارسم مخطط عزيم الاضواء لل stiffening Girder



باعتبار ان الرفع المبد abc بسيط الاستناد بحسب ردود الاعمال V_a و V_b و عزم الارتفاع تحت تأثير الاعمال المركزة الخارجيه $(24, 30)$.

$$\sum M_a = 0 \Rightarrow V_b \times 120 - 24 \times 25 - 30 \times 80 = 0 \Rightarrow V_b = 25t \Rightarrow V_a = 29t$$

$$M_{25} = 725t \cdot m \quad / \quad M_c = 900t \cdot m \quad / \quad M_{80} = 1000t \cdot m$$



$$\text{at } c \quad M = Hh \Rightarrow H = \frac{M_c}{h} \Rightarrow H = \frac{900}{12} = 75t$$

$$\text{but } H = \frac{wl^2}{8h} = \frac{w \times 12^2}{8 \times 12} = 75t \Rightarrow w = 0.5t/m$$

$$V_A = V_B = \frac{wl}{2} = \frac{0.5 \times 120}{2} = 30t$$

$$T_{max} = \sqrt{V^2 + H^2} = \sqrt{30^2 + 75^2} = \underline{80.76t}$$

For the girder, the B.M. at any section is given by

$$M = \text{Girder moment} - H \text{ moment}$$

$$= \text{Girder moment} - Hy$$

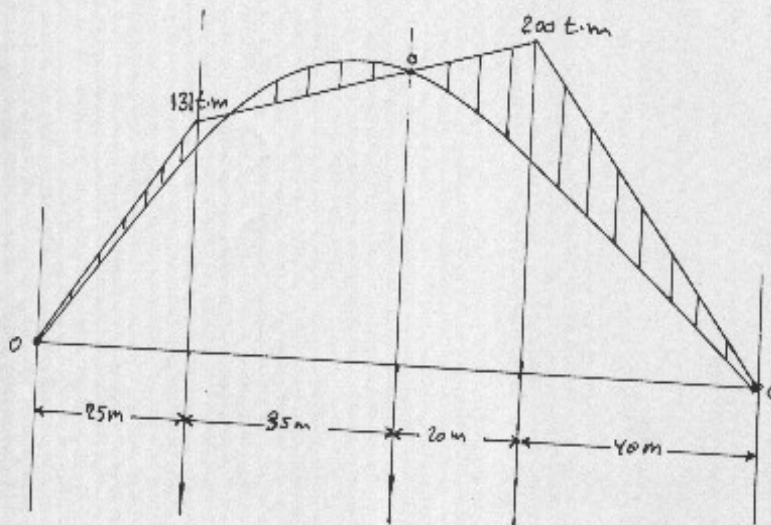
Actual B.M. diagram for the girder

$$y_{25} = \frac{4h}{l^2} x(x-l) = \frac{4 \times 12}{120^2} \times 25 \times 95 = 7.92 \text{ m}$$

Actual B.M. at 25m from left end equal $725 - 75 \times 7.92 = 131 \text{ t.m}$

$$y_{80} = \frac{4 \times 12}{120^2} \times 80 \times 40 = \frac{32}{3} \text{ m}$$

Actual B.M. at 80m from the left end = $1800 - 75 \times \frac{32}{3} = 200 \text{ t.m}$



B.M.D for the Stiffening Girder

لمزيد من المعلومات يمكن مراجعة مكتبة القسم والاطلاع على الكتاب المرفق :-

Theory of structures

S. RAMAMRUTHAM

المؤلفه :-



Yokohama Bay Bridge, Japan.

جسر يوكوهاما - اليابان
(C.S.B)
يبلغ جسر يوكوهاما 860 متر وهو من نوع (Cable-stayed Br.)

* يجدر التمييز بين الجسور المعلقة وبين ال (C.S.B) حيث يمتاز
الاهنير بان له ابراج طويلة كما هي الجسور المعلقة لكن الاختلاف
يكون بأسلوب تثبيت منصفه الجسر مباشرة بالابراج باستعمال
بما ميع من القابلات المائلة . لذا فان ال (C.S.B) لا تحتوي على
مابولين رئيسيين للتعليق . وتُعمل ال (C.S.B) لجسور القضايات
المتوسطة . وان تنفيذها يكون اسرع من الجسور المعلقة وذلك للفه
لعدم حاجتها للمثبتات الطرفية (Anchorages) . ومن اقله على الجور
(C.S.B) الجسر الذي يربط ال اعظميه مع شارع ١٤ رمضان .



Normandy Bridge, France.

جسر نورماندي - فرنسا
 يبلغ ارتفاع جسر نورماندي 856 متر ويعتبر من جسر (C.S.B)
 الطولية في العالم. تم افتتاحه في كانون الثاني 1995 .

من مميزات عامة تعتبر الجسور المعلقة وال (C.S.B) جسور ذات
 مصفحات رقيقة وتكون معرضة للاهتزاز وال (Deflection) لذا
 فلا تستخدم لعبور القطارات عليها . وتتراوح في اغلب الاعيان
 المقاييم المعمارية في انشائها لكي تكون مسيرة لتشكل أحد
 المعالم الياقة للمدينة التي بُنيت فيها .

من مميزات المعلومات يمكن مراجعتها مكتبة القسم والاطلاع على الكتاب :-
 Construction and Design of CABLE-STAYED BRIDGES
 by: Walter Podolny Jr.
 John B. Scatzi



Bascule Bridge, Florida, USA.

الجسر المرفوعة هبوطه اعلاه يعبر نهر ميامي في فلوريدا - امريكا
يتميز هذا الجسر بان منتهته يمكن فتحها هيدروليكيًا لكي تسمح
بمرور السفن عبر النهر دون الاضطرار الى انشاء منضبة مرتفعة
جدا وبالتالي تحتاج الى مقتربات طويلة يصعب انشاؤها في
مدينة مزدحمة. يسمى اي جسر من هذا النوع ب (Bascule Br.)
وهذه الجسور تصمم للفضاءات الضيقة العابرة فوق ممرات مائية
مزدحمة بالسفن ذات الارتفاعات العالية. من عيوب هذه الجسور
تقطيع حركة المرور عند فتحها ولذلك فأغلبا ما تفتح في
مواعيد ثابتة.



Vertical Lift Bridge.

الجسر الموضحة صورته اعلاه يمكن رفع القطعة الوسطية منه
لكي تسمح بمرور السفن من تحته. وتسمى الجسور من هذا
النوع (Vertical-lift Bridges). وتتميز بإمكانها ان تكون
اطول من ال Bascule Bridges. لكن الارتفاع المفيد لهذه الجسور
قد يعرقل مرور بعض السفن العالية الارتفاع.



Bridges in Newcastle upon Tyne, UK.

توضح الصورة أعلى جسرين في نيوكاسل - انجلترا .
 الجسر الكبير قوس حديدي متعلق فيه منضبة الجسر الأفقية
 ويلاحظ انخفاض المسافة على طرفيه لكن تمنع القوس من الاندفاع الأفقي .
 الجسر الثماني يمثل جسر ذو قمته ملامح حيث يمكن لمنحه
 من الدوران عن مستوى أفقي مستند على الدعامة الوسطية مما
 يسمح بفتحها ملاحية لها لذهاب السفن والافرن للرياح .
 ويسمى مثل هذا النوع من الجسور بـ Swing Bridge . .
 - المعلومات يوجد جسر أفنظم من هذا بكثير يسمى جسر فالدين الوليد
 في مدينة البصرة له قمته ملامح . ولتمتد ليحيط شكل العرب في
 اوسع من الحقه وتقع تحت الجسر جزيرة كدمن جزيرة السنديار .



Evergreen Point Floating Bridge, Seattle, USA.

جسر انفرجرين العالمى - يعبر بحيرة واشنطن قرب سياتل - امريكا .
تم انشائه على عوامات خرسانية . ويمتد الجزء العالمى منه لمسافة
2300 متر . يتكون الجسر من 25 قطعة ، امداها عالمه تلسكوبية .
هيت يمكن لهذه القطعة التلسكوبية بالانفتاح للسماح بمرور السفن
الكبيرة او لتخفيف الازمادات الطولية على الجسر خلال العواصف .

* يوضع هذا الجسر ابتداء الفكرة الانشائية بين جسر و آخر
وكيفية توظيف معطيات الموقع لاتخاذ القرار حول نوع الجسر
المطلوب انشائه لكن يودى الفرض من انشائه اضافة الى
الاهتمام بجماالية المنشأ .



Chesapeake Bay Bridge- Tunnel, Virginia, USA.

جسر- نفق هيسايدك ايمتد لمسافة 28200 متر بيت نورفولك
رفجينيا . يبدأ كجسر لكنه يختفي في الماء عند منتصفه ليصبح
نفقاً تحت الماء ثم يظهر كجسر ثم يعود للافتقار كنفق كين
الوصول الى الضفة الاخرى . لذا فهو منشأ مركب من جسرين
ونفقين . الفكرة منه السماح بمرور العجلات في نفق تحت
قنوات ملامية رئيسية بدون تقاطع .



Pointe Vecchio, Florence, Italy.

جسر فينيتو - فلورنسا - إيطاليا .
 تمكن هذا الجسر الذي أنشأ عام 1345 م من الصمود من التدمير
 للجسور المماثلة القديمة خلال الحرب العالمية الثانية . يلاحظ
 في الصورة ان الجسر يحمل مملكات الذهبية والمجوهرات .

* يتكون الجسر من عدد من الأعمدة الحجرية ذات القوائم
 القوية ومنح المقاييس العالية التي تعتمد الفرسانة والحديد عالي الإمداد .
 كما يلاحظ ضخامة المساند ومفوضها الجانبية لكي تمنع أي اندفاع
 أفقي للجسر .

* تجدر هنا ملاحظة طبيعة الأفعال التي يمكن ان يتعرف لها جسر
 وبالتالي على المصمم ان يحسن تخمينها .

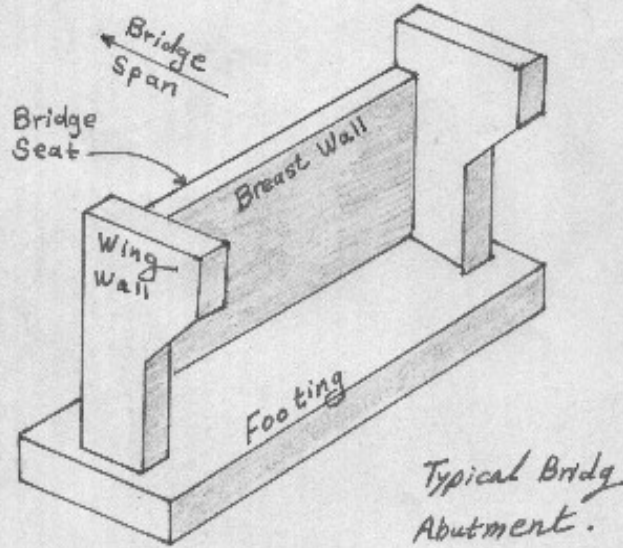
Construction Details

التفاصيل الإنشائية

Abutments:

الدعامات الطرفية

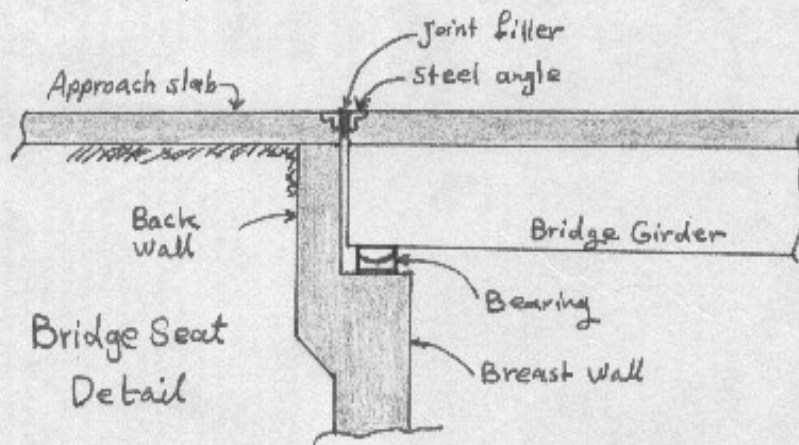
الغرض من تنفيذ الدعامات الطرفية عند بداية ونهاية كل جسر هو لنقل الأحمال من منضبة الجسر إلى أساسه ، كما تعمل كجدار ساند (retaining wall) لمنع التربة عند الضفاف من الانحدار باتجاه النهر .
يوضع المخطط أدناه دعامه طرفية نموذجية والأجزاء التي تتكون منها .



حيث يؤمن الجدار الصدري (Breast wall) الاستناد لروافد الجسر كما يتقدم الدفع باتجاه منضاب الجسر (Bridge span) ، وان هذا الدفع ناتجاً من التربة الواقعة على ضفاف النهر (أو الدفن الترابي) .
يضم الجدار الصدري كجدار ساند مثبت عند قاعدته مع الأساس (Footing) . بينما يكون مرأً عند قمته (Cantilever) . وفي بعض الأحيان يكون من الاقتصادي تصميمه لتحمل العزوم باتجاهين (Two-way Action) .
كذلك يؤمن سطحه العلوي المستوي المكان المثالي لوضع حامل العتد أو الحامل الثابتة .

قد تأخذ الجدران الجناحية (Wing Walls) أشكالاً مختلفة
 يوضع الشكل السابق أحدها. إن الطبيعة الثلاثية الأبعاد
 لمنقوشه الجدران الصدرية والجناحية وارتباطها بالقاعدة - يجعل
 هذا المنشأ معقداً نسبياً من تحليله ، وقد تستخدم
 أساليب التقريب الحافظة (Conservative approximation) عملياً ،
 أو ، في الجسور العاليه الاصحيه قد تستخدم نماذج مصغره
 للتحليل (Model Analysis) أو استناداً تربيع ال
 (Finite-Element Method).

لأتنفذ مقاعد الجسور (Bridge seats) بالصورة المستوية
 الموضحة في الشكل السابق بل كما في الشكل التالي .

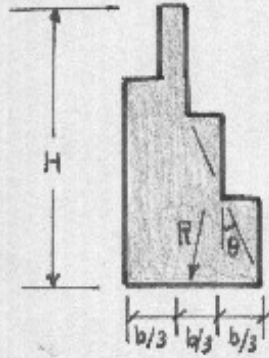


حيث تستعمل على مدار فلن (Back wall) لتثبيت التربة
 الواقعة فوق مستوى مقعد الجسر من الانخفاض باتجاهه.
 من المعتاد اسناد المقربين (Approach slab) على الجدار
 الفلني لتلافي المشاكل المرجح نشوئها بسبب هبوط التربة
 (Settlement) والذي يصعب تفاديه لتربة الدفت .

Types of Abutments :

(a) Mass concrete / brick abutments :

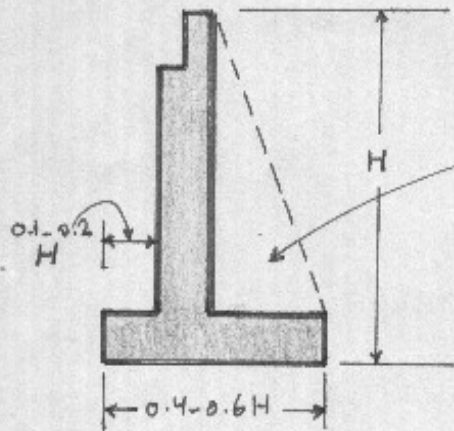
وتستخدم للجسور ذات الارتفاعات القليلة والفتحات الضيقة .
ويكون شكلها العام كما في الشكل أدناه .



θ less than 30°

(b) Cantilever Abutments :

تُنفذ باستخدام الخرسانة المسلحة والارتفاع 7 - 10 متر .



في حاله زيادة ارتفاعها قد يتقلب

تنفيذ جدران سائده لها دسما

في هذه الحاله

(Counterforted Cantilever)

يجب اخذ المؤثرات (القرنات) التاليه عند التصميم ،

الذبح الجانبي للتراب ، الاصلال الاضائيه فوق التربه (surcharge)

اضافه الحامض التربه علما القاعده . كما يتقلب اجراء تصريف

(Drainage) للتراب لمنع ارتفاع منسوب المياه الجوفيه وزيادة الذبح الجانبي .

ويجب علينا ان نقاوم قويا الذبح الجانبي الناشئه بسبب التغيرات الطويله للمنصب .

في حالة كون التربة ضعيفة لا تقبل القامحة الموضحة اعلاه
 لتكون اساس مرفوعة هذه الحالة يتطلب استخدام ركائز (piles)
 ركائز الشكل التالي:-

يكون الحمل المسلط على الركيزة A يساوي

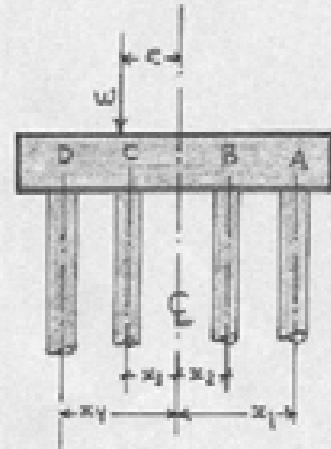
$$\frac{W}{N} + \frac{W \cdot e \cdot x_1}{\sum x^2}$$

where W = Total vertical load
 on pile group.

N = Number of piles

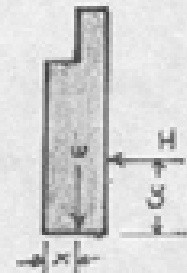
e = Eccentricity

$$\sum x^2 = x_1^2 + x_2^2 + \dots + x_N^2$$



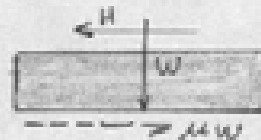
كذلك يجب تدعيم استقرار الدعامه العرضيه ضد الانقلاب (overturning)
 ويجب استخدام معامل امان في هذه الحالة لا يقل عن 1.5 ركائز يابسي:-

$$W_x > 1.5 H_y$$



اضافه لما ورد اعلاه يجب تدعيم استقرار الدعامه العرضيه ضد الانزلاق
 (sliding) فاذا كان μ هو معامل الاحتكاك بين الترسمانه والتربة
 والبالغ 0.2 للتربة القلبيه و 0.4 للتربة الرمليه والمعتقده ههنا .
 يجب استخدام معامل امان لا يقل عن 1.5 ركائز يابسي:-

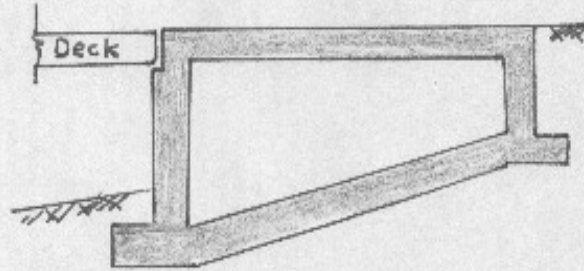
$$\mu W > 1.5 H$$



(c) Cellular Abutments;

الدعامات الطرفية الخلوية

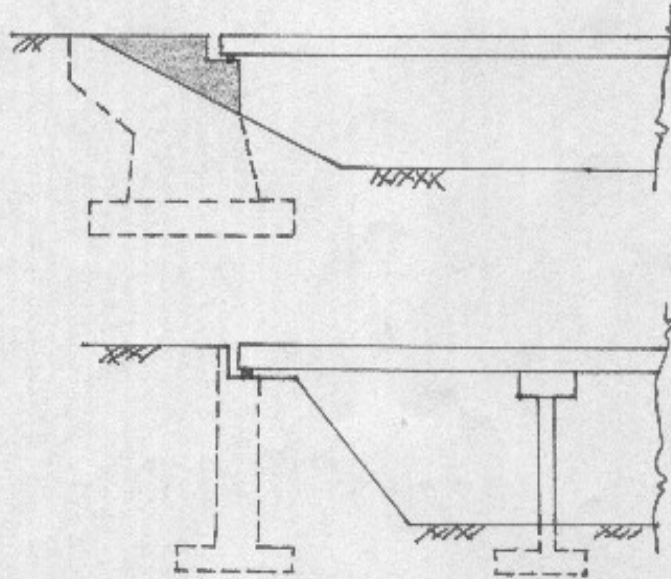
لزيادة استقرارية الدعامات الطرفية يمكن انشاؤها بشكل يشبه
الغرفة (المجوفة) وقد يُملأ التجويف بالجرماد للحصول على
مزيد من الاستقرارية ، ويوضع الشكل ادناه مقطعها العرضي.



(d) Hidden Abutments :

الدعامات الطرفية المخفية :

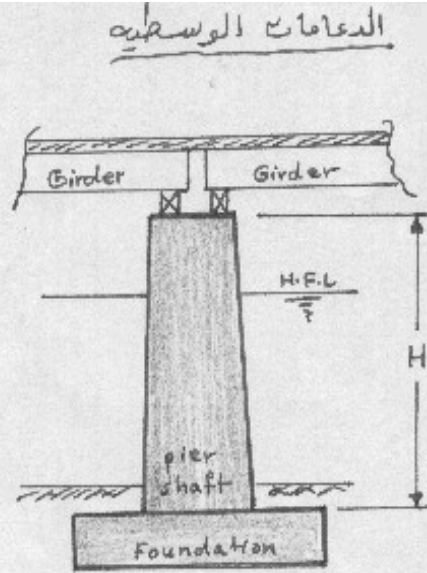
عندما تكون هناك تعليلات ترابية عند مقربات الجسر قد يقلب
انشاء الدعامات الطرفية بحيث تكون مخفية ضمن اعمال الدفن. وكما
في الشكلين التاليين :-



Piers

1) Height (H)

عادةً يكون ارتفاع الدعامه بحيث تبرز بما لا يقل عن 1 الى 1.5 متر فوق اعلى مستوى متوقع لمياه النهر (H.F.L.) (High Flood Level)

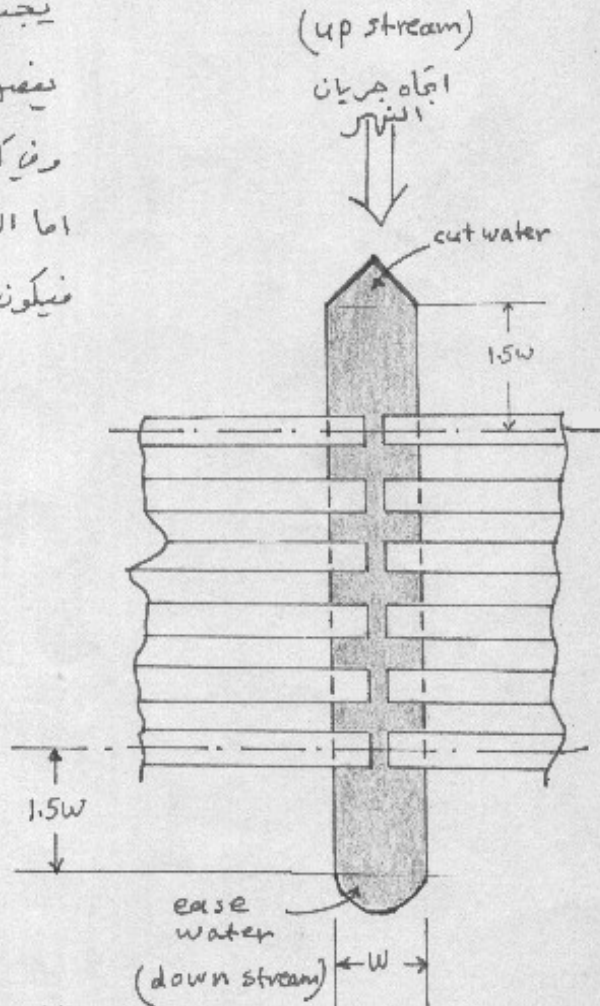


2) Width

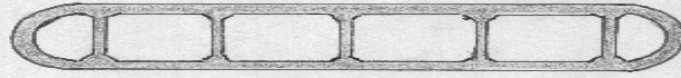
العرض العلوي (Top width) (w) للدعامه يجب ان يكون كافياً لاستيعاب محملين يفضل بينها مسافة لا تقل عن 150 mm .
 وفي كل الاحوال لا يقل العرض العلوي عن 600 mm
 اما العرض السفلي (Bottom width) للدعامه فيكون مساوياً لثلث ارتفاع الدعامه .

3) Length

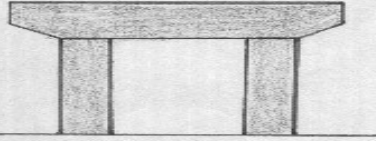
يكون طول الدعامه مساوياً الى المسافه بين مركزي الرافدين الخارجيين مضافاً له ثلاثه اضعاف العرض العلوي للدعامه + ease water + ease water .
 كما يتم تصميم ابعاد المماثل بحيث يكون الاجهاد (bearing stress) على الدعامه لا يتجاوز 42 kg/cm^2 .



Different Types of Piers



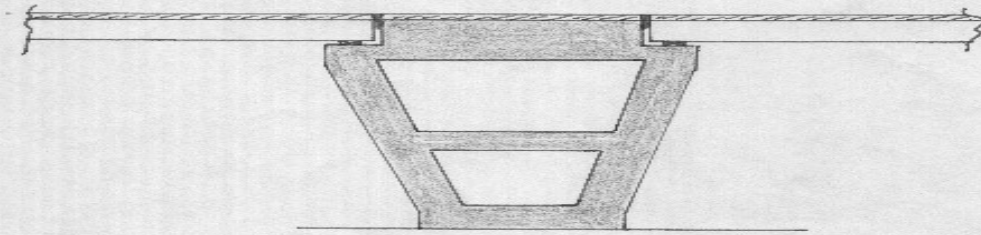
Cellular Pier Section



Trestle Pier



Hammerhead Pier



Framed Pier

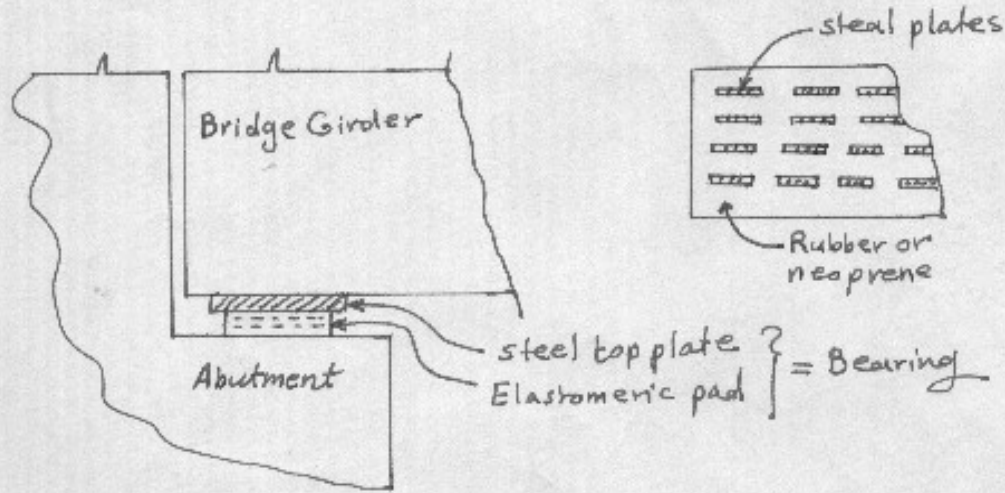
Loads

- ١- الاعمال الميته المُسلطه من منفيه الجسر .
- ٢- الاعمال الحيه المُسلطه من منفيه الجسر .
- ٣- وزن الدعامه الذاتي مطروفاً منه قوه الرفع الهيدروستاتيكي للماء المحيط بالدعامه .
- ٤- القوى الجانبيه المؤثره بشكل عمودي (افقي) على الخط الطولي لتتصيف الجسر . تتضمن هذه القوى تأثير الرياح على منفيه الجسر و الدعامه وكذلك على العجلات الماره فوق الجسر . كما تشمل قوى الدفع بسبب تيار الماء .

لاستيعاب التغيرات الطولية الناشئة بسبب التغير في درجات الحرارة ، يجب مراعاة الامور التاليه عند تصميم محامل الجسور . بصوره عامه يكون احد طرفي رافد الجسر مثبت (Fixed) تجاه الحركه الافقيه بينما يكون طرفه الآخر مكند على محمل يسمح بالازاحه او الحركه الافقيه . للفضاءات الطويله يجب تصميم المحامل لكي تسمح بالدوران عند اطراف الرافد لكي تسمح للرافد الطويل بالهطول المحسوب بسبب تعرضه للاتصال المرور بدون ان يتضرر للفضاءات التي تقل عن 50ft قد تكون المحامل عبارة عن صفائح فولاذيه تسمح بالانزلاق عند احد اطراف الرافد ، ولا تعكس الاصطدام بمستلزمات الدوران . اما للفضاءات الاكتر طولاً فان المحامل تتضمن (rollers, rockers, or sliding plates) . بينما يتم استيعاب الدوران عند طرفي الرافد بواسطة hinges, curved bearing plates, or pin arrangements .

في السابق كانت هذه الوسائل المذكوره املاه اضافه لصعوبه تنفيذها كانت تتطلب صيانه دوريه للمحافظة عليها بتظيفه و خاليه من الارساخ والصدأ . اما في الوقت الحالي فقد سيتم بدلاً منها (Elastomeric pads) او polytetrafluoroethylene (TFE) وكذلك منها اثبت كفاءه عاليه لاستيعاب الحركه الافقيه والدوران ولا تتطلب صيانه .

تتكون ال (Elastomeric pads) الموضحة في الشكل أدناه من طبقات ايلاستوميرية مترابطة مع طبقات متعاقبة من الصفائح الفولاذية. وقد يكون ال ايلاستومر اما مطاط طبيعي او نيوبرين (neoprene).



Drainage

تصريف المياه

يجب التخلص بسرعة من المياه المتجمعة على منضه الجسر. ويتم ذلك بجعل الطريق المر فوق الجسر محذب بحوالي $\frac{1}{8}$ in / ft وتوزيع قنات التصريف على جانبي الطريق لكي ينزح من الماء. اذا كان الجسر منفذ ليكون افقياً على امتداد مساره الطولي، يمكن تنفيذ محذب طولي لمنضه الجسر وذلك برفع الجزر الوسطي من منضه الجسر وذلك عندما يجري نصب القوالب. ان هذا المحذب يهبط جريان الماء على جانبي الطريق وتصريفها عند كل من زوايا الجسر. ويكون المحذب بمقدار $\frac{1}{10}$ in / ft مناسباً للمنضات الخرسانية.

Cl. 7.6

حدود مسافات التباعد المسموح بها بين حديد التسليح

اقل مسافة تباعد صافيه بين اي مَضْبِيبِ تسليح
متوازيين في طبقة ما ، يجب ان لا تقل عن قطر
مَضْبِيبِ التسليح (dp) وبكل الاحوال ان لا تقل

Cl. 7.6.1

عن إنج واحد .

مع مراعاة استخدام حصن ذو مقاس اعصر

Cl. 3.3.2.C

لا يتجاوز $\frac{3}{4}$ مسانه التباعد المذكوره اعلاه .

عندما يوضع حديد التسليح المتوازي بطبقتين او
اكثر ، يجب وضع مَضْبِيبان حديد التسليح في الطبقة
العليا مباشرة فوق مَضْبِيبان التسليح في الطبقة
السفلى ، مع ترك مسانه صافيه لا تقل عن إنج واحد
بين طبقة واخرى .

Cl. 7.6.2

يجب ايضا تطبيق محددات مسافات التبايد الصافيه
بين مَضْبِيبان حديد التسليح ، على مسافات التبايد
الصافيه بين وصلات الربط الانمانيه (contact lap splices)

Cl. 7.6.4

والوصلات او التقنين المتقاربه

cl. 7.7

الحماية الخرسانية لحديد التسليح

يجب تأمين غطاء خرساني لحديد التسليح ((في حالة الصلب المرقم))
وبما لا يقل عما مذكور ادناه:-

أقل سلك
للغطاء بالانبات
3

٢- الخرسانة الملاصقة باستمرار للأرض.

ب- الخرسانة المعرضة للملاصقة الأرض

أو المتغيرات الجوية بصورة فير دائمة

أو محمية باستخدام اساليب خاصة

2

لغضبان تسليح #6 لغاية #18

1 1/2

لغضبان تسليح #5 فما دون

ج- الخرسانة غير المعرضة للمتغيرات الجوية

أو الملاصقة للأرض:-

1 1/2

بلاطات، جدران وباتطار #14 - #18

3/4

وباتطار #11 فما دون

العتبات والاعمدة: للتسليح الرئيسي

1 1/2

والتسليح المقامم للقضا

cl. 7.7.1

يجب تأمين نظام فريسي لحديد التسليح (في حالة الحبيب المسبق وفتح سطحه نوعيه) وبما لا يقل عما مذكور اذناه :-

اقبل سلك
للغشاء بالانجيات

$1\frac{1}{2}$

$\frac{3}{4}$

2

$1\frac{1}{2}$

$1\frac{1}{4}$

٩- الخرسانه المعرضه للدفا او الجوا :

الجدران باقطار حديد #14 - #18

وباقطار #11 منادون

للمجاز الانشائيه الاخرى :

#18 — #14

#11 — #6

#5 منادون

١٠- الخرسانه غير الملاسه للدفا او

المعرضه للجوا :

بلدطات جدران و باقطار حديد

#18 — #14

#11 منادون

عبات او المحده

$1\frac{1}{4}$

$\frac{5}{8}$

d_b وبما لا يقل عن $\frac{5}{8}$ وبما

لا يزيد عن $1\frac{1}{2}$

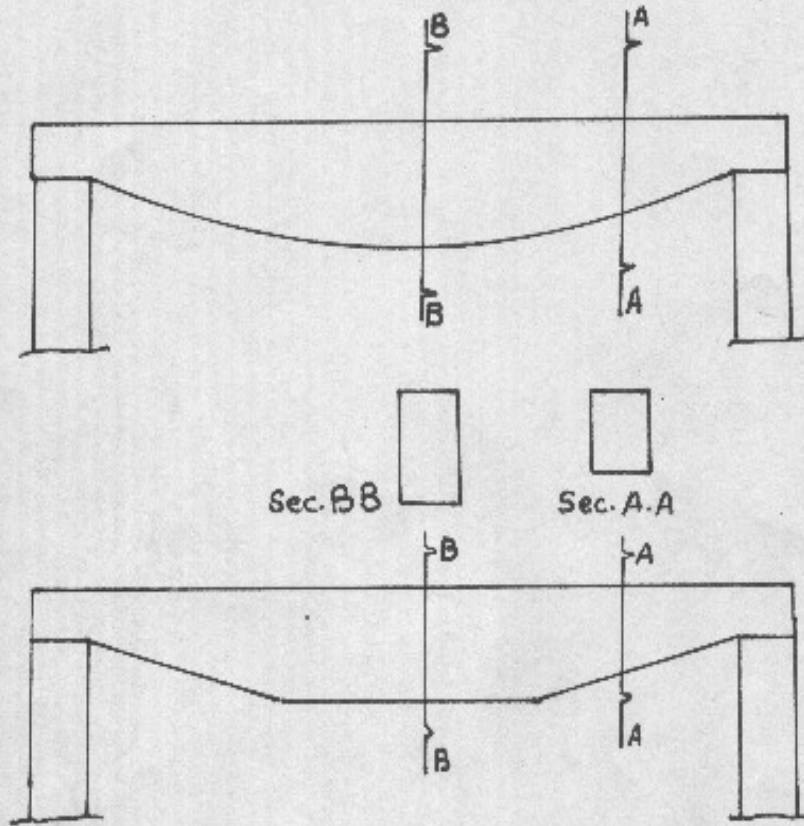
$\frac{3}{8}$

لحديد التسليح المتارم للقفص

cl. 7.7.2

الروافد ذات المقاطع العرضية المتغيرة (Girders with Variable Sections)

في بعض الأحيان تُستخدم الروافد ذات المقاطع العرضية المتغيرة ،
 الموضع البعث منها أدناه في أعمال الجسور وخصوصاً الحديدية أو
 الرصاصية مسبقه الصلب أو التي تقبب موقفاً باستعمال القوالب المنزلقه .



Longitudinal sections of variable cross section Girders

وذلك لغرض التقليل من الأوزان الذاتية للروافد بدون الانتقاص من كفاءتها
 في تحمل الأحمال الخارجية المسلطة عليها مقلداً . ويتم ذلك من خلال توظيف
 التقليل الانشائي بصوره متاليه . واهم المتغيرات الطوريه في عملية
 التصميم الانشائي ، وكما يلي :-

٩- عزوم الانحناء

فيما يتعلق بعزوم الانحناء ، غالباً ما يكون العزم الموجب الأقصى في المناطق الوسطى من نضار الجسر * لذا يتقلب أكبر مقطع عرضي للرافد ، بينما يقل العزم تدريجياً عند الاطراف مما يتطلب مقطع عرضي اصغر . لذا يتم تقسيم مقاومة العزوم لعدمف المناطق نقل مساماتها حسب بعدها من منطقة العزم الاقصى . وفي هذه الحالة يتم غالباً المحافظة على كمية هديد التسليح المقدم للعزم على طول امتداد الرافد . تجدر الاشارة هنا الى ان عملية تقطع بعض من هديد التسليح الرئيسي المقاوم للعزوم والتي تتم اجرائها في المثالين السابقين تعتبر احد الطرق البديله لاستخدام الروافد ذات المقاطع المتغيرة .

١٠- - اجراءات القفا

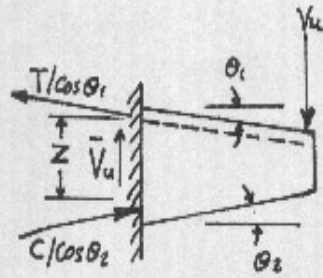
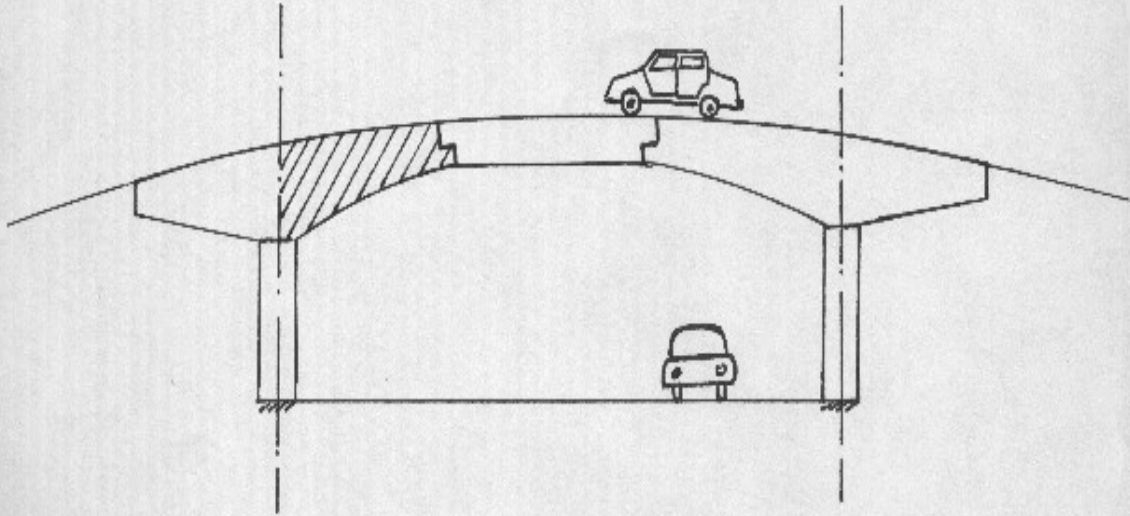
اذ تغير مقاطع جسر فرساي مسلح بفئتر بصوره كبيره على مقاومته لاجراءات القفا . من المعلوم ان تكون موه القفا الناشئه بسبب الازمال الخارجيه في اقصاها قرب المساند وتقل في المناطق الوسطى من الروافد ** لذا فان اجراءات القفا ستزداد في حالة تقليل المقاطع قرب المساند ويطلب تصميمها بصوره دقيقه وأمينه وفيما يلي الاسس النظرية لجهد الموضوع .

* في حالة ال (Cantilever) يكون العزم الاقصى عند المسند لذا يكون المقطع الكبير قرب المسند ويقل كلما ابتعدنا عنه ووفقاً ما يمليه مخطط العزوم .

** في حالة ال (Cantilever) تكون موه القفا في اقصاها عند المسند وتقل عند الطرف في حالة التميل لجعل منتظم التوزيع .

تصميم العنق لرافد متغير العمق * (Shear design for members of variable depth)

توضع المقطع المأخوذة من الجسر اثناء رافداً فرسانياً مساماً متغير المقطع .



ولغرض دراستها نرسمها كما يلي :-
تكون محصلة ابرادات الانضغاط
في الخرسانة وكذلك قوة الشد
في الحديد ماثلتان وتساويان
(او ان لهما مركبات) متعامدة

عالم محور الرافد العمودي . فإذا كان ميل (slope) السطح الانحلال
للرافد يادي θ_1 وميل السطح السفلي يادي θ_2
تكون قوة العنق المتبقية (the net shear force) التي يجب تصميم
المقطع لكي يتحملها ساري :-

$$\bar{V}_u = V_u - T \tan \theta_1 - C \tan \theta_2$$

* عادة يكون تغير المقطع يشمل تغير العمق مع المحافظة على العرض .

هيئات:

$V_u =$ قوة القص الخارجيه المحسوبه زمتا مقطعات العنق .

$$\frac{M_u}{Z} = T = C$$

$M_u =$ العزم الاقصى المؤثر عند المقطع .

$Z =$ ذراع مزدوج المقادير (resisting couple) الدافلي للرافد

لذا ففي هذه الحالة التي يزداد فيها عمق الرافد باتجاه زياده العزم (حاله ال Cantilever) يكون العنق الذي يجب تقصير الرافد بوجهه يساري

$$\bar{V}_u = V_u - \frac{M_u}{Z} (\tan \theta_1 + \tan \theta_2)$$

تعطي هذه المعادله نتائج تقريبيه للقص ونستدرج لتطبيقها ان يكون مجموع $\theta_1 + \theta_2$ لا يتجاوز 30° .

* في حالة نقصان مقطع الرافد باتجاه زياده العزم تطبق نفس المعادله املا مع تغيير الاشاره (-) الى (+) .

بسم الله الرحمن الرحيم

الجامعة التكنولوجية

قسم هندسة البناء والإنشاء - فرع الطرق والجسور

المادة: هندسة الجسور الخرسانية

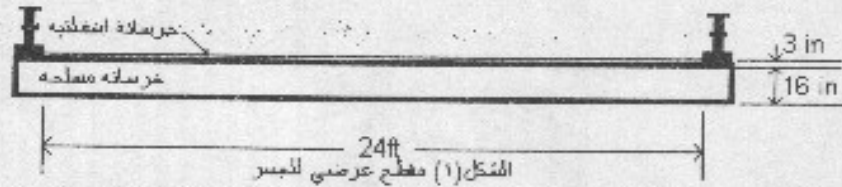
المرحلة: الرابع / مسائي / صباحي

المدرس: علاء الخطيب

التاريخ: 05/01/15 ، الزمن: 1.5 ساعة

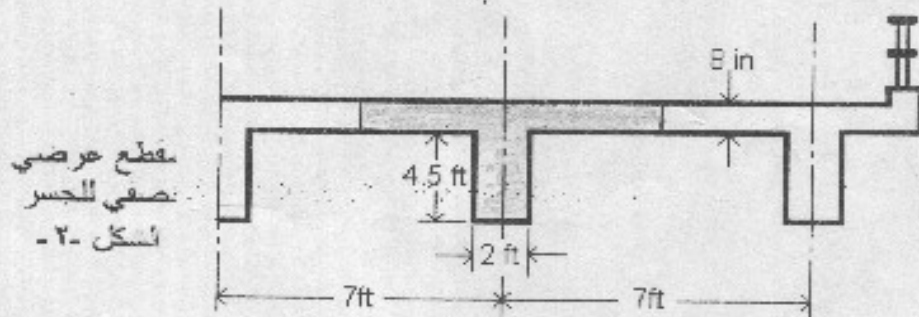
Open Books & Notes Exam. Answer Only (4) Questions.

س/1: احسب العزوم القصوى الكلية M_T على شريحه بعرض قدم واحد من الجسر الموضح مقطعه العرضي أدناه. علماً بأن الأحمال الحيه تعتمد تحميل الشاحنه القياسيه HS15. وان الطول المؤثر للجسر يبلغ $L=30ft$.



س/2: صمم قياس ومسافات التباعد المطلوبه لحديد التسليح الرئيسي والثانوي للجسر الموضح مقطعه في الشكل -1. وذلك إذا كانت كمية الحديد المطلوبه لمقاومة العزوم هي، $AS=1.75 \text{ in}^2/\text{ft}$. معززاً الإجابة بالرسم.

س/3: احسب العزوم القصوى الكلية M_T المؤثره على الرافد الداخلي المضلل في الشكل -2 علماً بأن الفضاء المؤثر للجسر يبلغ $L=80 \text{ ft}$ وهو مصمم لمرور الشاحنه القياسيه HS20.



س/4: إذا أفضت الحسابات بأن كمية الحديد الرئيسيه اللازمه لتسليح الرافد الداخلي الموضح في الشكل -2- أعلاه تبلغ $As=16.6 \text{ in}^2$. صمم قياس و عدد ومواقع حديد التسليح المقاوم للعزم. وعزز الإجابة بالرسم.

س/5: صمم قياس ومسافات تباعد حديد التسليح المقاوم لإجهادات القص في الرافد الداخلي الموضح في الشكل -2- أعلاه. علماً بأن قوة القص الكلي الأقصى عند أي من مسنديه تبلغ 130000 lb ، وإن طول الرافد يبلغ 80 ft .

الدجوبه النموذجيه لد متجان الفصل الاول
 هندسة الجسور الخرسانيه 2004 - 2005

A1

$$D.L = 150 \times \frac{16}{12} + 140 \times \frac{3}{12} = 235 \text{ p/f}$$

$$M_d = \frac{1}{8} \times 235 \times 30^2 = 26437 \text{ ft.lb}$$

$$M_L = \frac{3}{4} \times 900 \times 30 = 0.75 \times 900 \times 30 = 20250 \text{ ft.lb}$$

$$I = \frac{50}{30+125} = 0.32 \Rightarrow 0.3$$

$$M_I = 0.3 \times 20250 = 6076 \text{ ft.lb}$$

$$M_T = 26437 + 20250 + 6076 = 52762 \text{ ft.lb}$$

A2

Using # 8 bars

$$\text{Spacing (s)} = \frac{A_b}{A_s} = \frac{0.79}{1.75} = 0.45 \text{ ft} = 5.4 \text{ in}$$

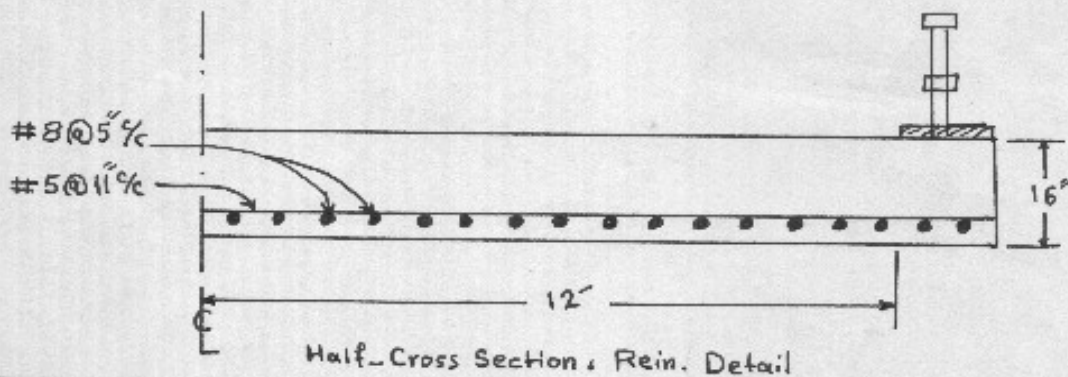
∴ use # 8 @ 5" c

$$\text{Secondary Rein.} = \frac{A_s}{\sqrt{S}} = \frac{1.75}{\sqrt{30}} = 0.32 \text{ in}^2$$

Using # 5 bars

$$S = \frac{A_b}{A_s} = 0.97 \text{ ft} = 11.6 \text{ in}$$

∴ use # 5 @ 11" c



A3

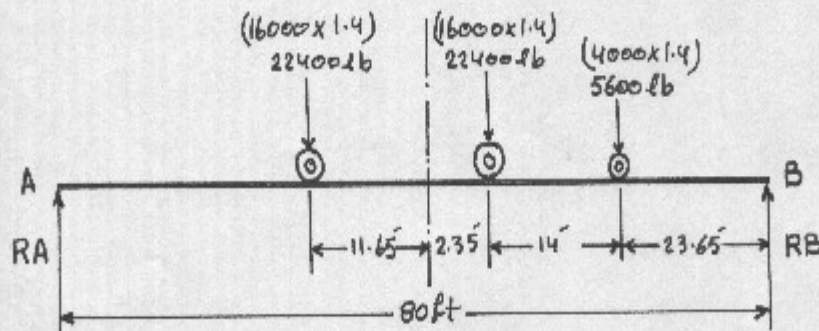
$$\text{Weight of Top Flange} = 150 \times \frac{8}{12} \times 7 = 700 \text{ p/f}$$

$$\text{Weight of Stem} = 4.5 \times 2 \times 1 \times 150 = 1350 \text{ p/f}$$

$$\text{Interior Girder } DL = 700 + 1350 = 2050 \text{ p/f}$$

$$M_d = \frac{1}{8} \times 2050 \times 80^2 = 1640000 \text{ ft. lb}$$

$$\text{Wheel Load Dist. Factor} = \frac{8}{5} = \frac{7}{5} = 1.4 \text{ wheel load/wheel}$$



$$RB = 23740 \text{ lb}$$

$$M_L = 815430 \text{ ft. lb}$$

$$I = 0.244$$

$$M_I = 0.244 \times 815430 = 198885 \text{ ft. lb}$$

$$M_T = 1640000 + 815430 + 198885 = 2654315 \text{ ft. lb}$$

A4

Using #11 bars

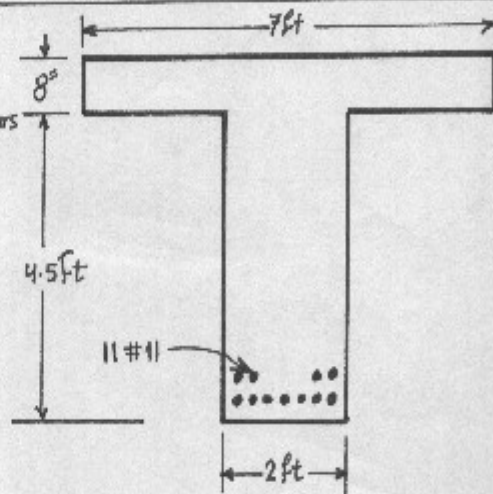
$$\text{No. of bars} = \frac{A_s}{A_b} = \frac{16.6}{1.56} = 10.6 \Rightarrow 11 \text{ bars}$$

$$\text{No. of bars / Layer} = x$$

$$24 - 2 \times 1.5 - 2x \times \frac{5}{8} - \frac{11}{8} (2x - 1) = 0$$

$$x = 7.6 \Rightarrow \text{Max 7 bars / Layer}$$

\therefore Use 11 #11 bars in 2 Layers



A5

Using #5 U stirrups

$$d/2 = (4.5 \times 12 + 8 - 2.5 - \frac{11}{8} - 1) / 2 = 28.56 \text{ in}$$

$$\text{Max. spacing of stirrups} = d/2 = 28 \text{ in}$$

$$v - v_c = \frac{A_v f_y}{s b_w} = \frac{0.62 \times 20000}{28 \times 24} = 18.45 \text{ psi}$$

$$\text{End shear stress} = \frac{130000}{24 \times 57.125} = 95 \text{ psi}$$

$$\text{Shear stress at } d \text{ from supp.} = \frac{40 \times 12 - d}{40 \times 12} \times 95 = 83.7 \text{ psi}$$

$$\text{Shear taken by Conc. } \& \text{ Max. spacing stirrups} = 52 + 18 = 70 \text{ psi}$$

$$\frac{95}{40} = \frac{70}{x} \Rightarrow x = 29.5 \text{ ft from } \phi$$

spacing of stirrups near supp.

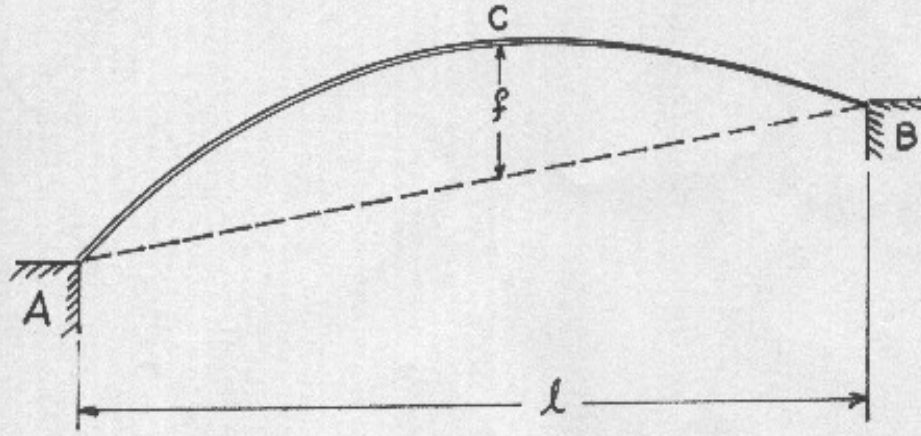
$$s = \frac{A_v f_y}{(v - v_c) b_w} = \frac{0.62 \times 20000}{(83.7 - 52) 24} = 16.3 \text{ in}$$

\therefore Use 7 #5 U stirrups @ 16" ϕ starting from 3" from supp.

Then use 13 #5 U stirrups @ 28" ϕ for each half span.

30	العدد الكلي لطلبه المرحلة الرابعه (٢+١٣)
7	عدد الطلبه المتواجدين
73	العدد الكلي للطلبه المشاركين بالامتحان
42	عدد الطلبه الناجحين
31	عدد الطلبه غير الناجحين
58%	نسبة النجاح
95%	اعلى درجه
10%	ادنى درجه
50%	معدل الدرجات

(Arches)



مخطط يوضح مكونات القوس ورموزه

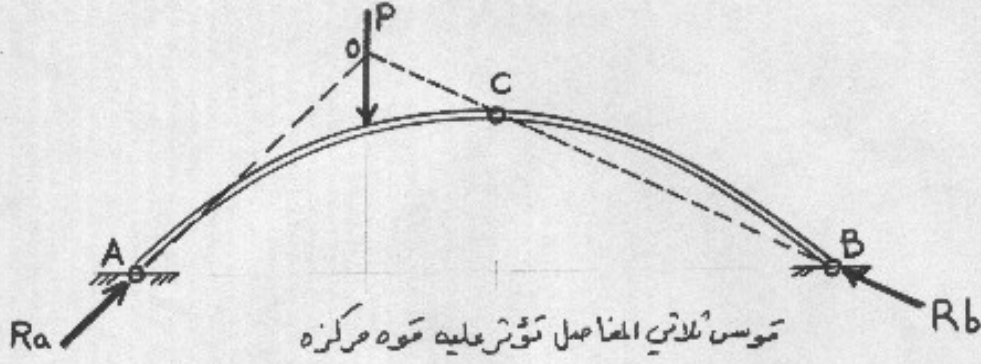
مقدمه

- * لكي يتكمن القوس من حمل الاثقال يجب أن تكون اطرافه A، B غير قابله للحركه . وان عكس ذلك يعنى انهيار القوس .
- * النقطه العليا من القوس تسمى التاج (CROWN) ورمزها (C).
- * الخط الواصل بين المساند AB يسمى خط الارتفاع (Springing Line).
- * المسافه الافقيه بين المساند (l) تسمى مضاء القوس (Span of the Arche).
- * أكبر مسافه شاقوليه بين القوس وخط الارتفاع تسمى ارتفاع القوس (Rise of the Arche) ويرمز لها بالرمز (f) .

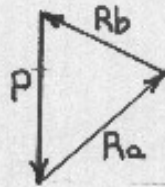
الدعائم ثلاثية المفصل

(Arches with three hinges)

القوس ذو المفصل الثلاثي الموضح ادناه يُعتبر منشأً محدد
استاتيكيًا (Statistically Determinate Stru.).



لحساب ردود الاعمال R_a ، R_b عند المساند A ، B
يجب ان نيس امتداد رد الفعل R_b عند المسند B في المفصل C
(وذلك لكي يحافظ على كون العزم في المفصل C يساوي صفر)،
ويقطع القوة المركزه الخارجيه P عند النقطة O .
وكذلك الحال لرد الفعل R_a . فتكون النقطة O هي نقطه
تلاقي القوس الثلاثه (موتني رد الفعل + القوة الخارجيه P)
وذلك لتحقيق التوازن لثلاث عومل واقعه في مستوي واحد
عند ذلك يمكن رسم مثلث القوس بقياس رسم وحساب مقدار
القوس والزوايا رسمياً ومن ثم تحليل ردود الاعمال R_a ، R_b
وفق الزوايا والمقدار الى
قوس شاعوليه واقعيه



فاذا كانت $P = 10 \text{ kN}$ فما مقدار ردود الاعمال ؟

إذا كان الرسم مرسوماً بدقة فأن :-

$$نضاد القوسى \quad l = 11m$$

وان ارتفاع المفصل C ياروى 2.35m

وان بعد خط الشاقول للقوة الخارجيه يستعد 3.5m عن المفصل A
من خلال مخطط القوى فأن طول السهم الذي يمثل P ياروى
2.5cm اي ان مقياس الرسم لمخطط القوى هو: $1cm = 4kN$
وعليه فأن طول رد الفعل R_b ياروى 2cm اي ان $R_b = 8kN$
وان طول R_a ياروى 2.5cm اي ان $R_a = 10kN$
 R_a تميل بزوايه 40° نحو اليمين بينما تميل R_b بزوايه 25° ياراً
وعليه فأن قوة الدفع الجانبي عند المفصل A ياروى :-

$$H_a = R_a \cos 40 = 7.6 kN \rightarrow$$

بينما قوة الاسناد نحو الاعلى عند المفصل A ياروى :-

$$V_a = R_a \sin 40 = 6.75 kN \uparrow$$

وان قوة الدفع الجانبي عند المفصل B ياروى :-

$$H_b = R_b \cos 25 = 7.6 kN \leftarrow$$

بينما قوة الاسناد نحو الاعلى عند المفصل B ياروى :-

$$V_b = R_b \sin 25 = 3.25 kN \uparrow$$

ان الحل التخطيطي (Graphical Solution) اعلاه يُعتبر

حلاً تقريبياً ويعتمد على دقة الرسم والقياس !

والآن نقارن مع الحل العددي البالغ الدقة وكما يلي :-

$$\Sigma M \text{ about C} = 0 \Rightarrow V_b \times 5.5 - H_b \times 2.35 = 0 \quad \text{--- ①}$$

$$V_a \times 5.5 - H_a \times 2.35 - 10 \times 2 = 0 \quad \text{--- ②}$$

$$\Sigma F_y = 0 \Rightarrow V_a + V_b = 10 \quad \text{--- ③}$$

$$\Sigma F_x = 0 \Rightarrow H_a + H_b = 0 \quad \text{--- ④}$$

$$V_a = 10 - V_b \quad \text{من ③}$$

$$H_a = H_b \quad \text{من ④}$$

$$55 - 5.5 V_b - 2.35 H_b - 20 = 0 \quad \text{نفوضنا في ②}$$

$$-5.5 V_b - 2.35 H_b + 35 = 0 \quad \text{نسط}$$

$$5.5 V_b - 2.35 H_b = 0 \quad \text{من ①}$$

$$\text{+} \quad \text{نجمع}$$

$$-4.7 H_b + 35 = 0$$

اذن:

$$H_b = 7.45 \text{ kN} \quad \leftarrow$$

$$H_a = 7.45 \text{ kN} \quad \rightarrow \quad \text{من ④}$$

$$V_a = 6.8 \text{ kN} \quad \uparrow \quad \text{من ②}$$

$$V_b = 3.2 \text{ kN} \quad \uparrow \quad \text{من ③}$$

نلاحظ ان الحل التخفيط لها ينحرف بمقدار

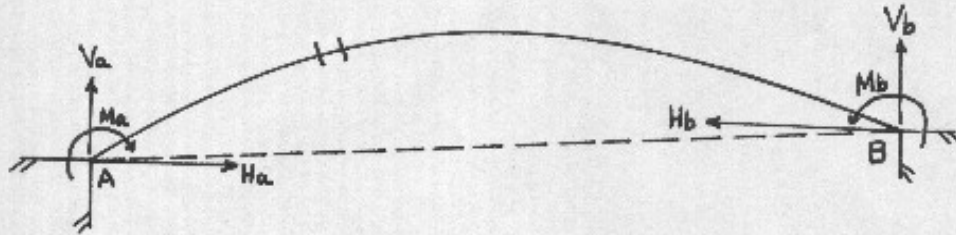
$$\frac{6.75 - 6.8}{6.8} \% = -1 \% \quad \text{فيما يتعلق ب } V_a$$

$$\frac{3.25 - 3.2}{3.2} \% = +2 \% \quad \text{فيما يتعلق ب } V_b$$

$$\frac{7.6 - 7.45}{7.45} \% = +2 \% \quad \text{فيما يتعلق ب } H_b / H_a$$

الأقواس غير المحددة استاتيكيًا (Statistically Indeterminate Arches)

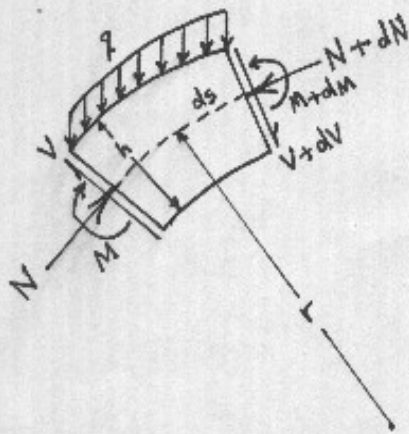
الحالة العامة هي القوس الثابت الطرفين الموضوح أدناه ، والذي له ستة ردود أفعال وثلاثة معادلات توازن ، متبعاً لثلاثة مجاهيل تحتاج لثلاث معادلات إضافية لغرض التحليل الكامل .



(Arches With Two Hinges)

الأقواس ثنائية المفاصل

الأقواس ثنائية المفاصل لها أربعة ردود أفعال (وذلك بعد الغاد العزوم في مسندتيها المفصليين) ، كما ان لها ثلاثة معادلات توازن فيبقى مجهول واحد يتطلب معادلة إضافية للتجزئة التحليل . لذا نستخدم نظرية الشغل الادرني ونحسب طاقة الادراد (Strain-Energy) المخزونه في القوس بسبب تجسيده ، لذلك نأخذ شريجه من القوس بطول ds وكما موضع بصوره مكبرة أدناه .



M	عزم القوس
V	قوة القص
N	القوة المحورية
ds	طول الشريجه
h	سُمك القوس
r	نصف قطر القوس
S	طول القوس
q	حمل منتظم شاقولي

نستخدم المعادله التاليه لحساب طاقه الاجهاد بسبب العزم

$$U_b = \int_0^s \frac{M^2 ds}{2EI}$$

كما نستخدم المعادله التاليه لحساب طاقه الاجهاد بسبب الضغط

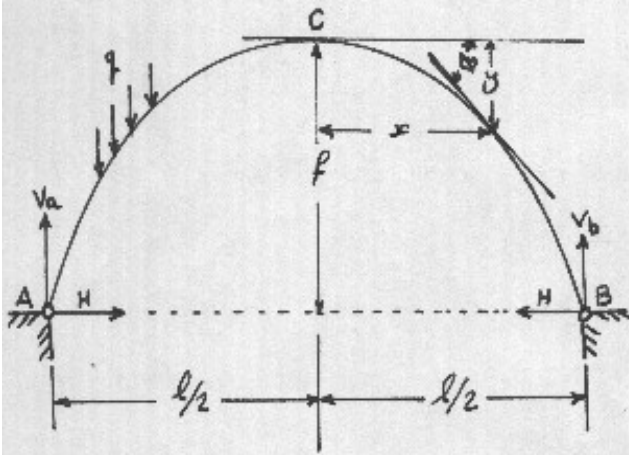
$$U_c = \int_0^s \frac{N^2 ds}{2AE}$$

حيث ان A تمثل مساحة المقطع العرضي،

باهمال تحديب مقطع القوس وتأثير تشوه القوس لضغرها،

نجد ان طاقه الاجهاد الكليه للقوس تساوي :-

$$U = \int_0^s \frac{M^2 ds}{2EI} + \int_0^s \frac{N^2 ds}{2AE}$$



القواسم ثنائيه المفاصل المتناظره

نختار الدفع الجانبي (H) عند المبنى

ليشكل قوه ثائفيه ونطبق نظريه

التقل الادنى :-

$$\frac{\partial U}{\partial H} = \int_0^s \frac{M^2 \partial M}{2EI \partial H} ds + \int_0^s \frac{N^2 \partial N}{2AE \partial H} ds = 0$$

لتكن : $M = M' - H(f-y)$ $N = N' - H \cos \phi$

نفرض ان المفصل B حر بالحركه الافقيه وان H ليست ذات تأثير عندنا يكون :-

$$M = M' - H(f-y) \quad , \quad N = N' - H \cos \phi$$

وعند اشتقاق هذه المعادلتين نجه الى H ووضعنا في معادله التقل الادنى مفصل علما

$$\int_0^s \frac{M' - H(f-y)}{EI} (f-y) ds + \int_0^s \frac{N' - H \cos \phi}{AE} \cos \phi ds = 0$$

$$H = \frac{\int_0^s (M'/EI)(f-y) ds - \int_0^s (N'/AE) \cos \phi ds}{\int_0^s [(f-y)^2/EI] ds + \int_0^s [(\cos^2 \phi)/AE] ds}$$

وعند الحل نجد ان :

وهذه المعادله هي الاساسيه التي يمكن من خلالها الحصول علما الدفع الجانبي (H) الذي يحمي ذو سطرين.

إذا كان القوس جزء من شكل بيضاوي فأن:-

$$y = \frac{4fx^2}{l^2} \quad , \quad \cos \phi = 1 / \sqrt{1 - (8fx/l^2)^2}$$

وان مساحة المقطع العرضي (A) ومزم القصور الذاتي (I) متغيران

$$A = \frac{A_0}{\cos \phi} \quad , \quad I = \frac{I_0}{\cos \phi}$$

وفق المعادلات التاليه:-

حيث ان:-

$$A_0 = \text{مساحة المقطع العرضي عند التاج}$$

$$I_0 = \text{مزم القصور الذاتي للمقطع العرضي للقوس عند التاج}$$

$$\beta = \text{معامل منتظم التوزيع يؤثر ساقولياً على القوس}$$

$$M' = \frac{fl^2}{8} \left(1 - \frac{4x^2}{l^2}\right) \quad \text{فأن:-}$$

$$N' = fx \sin \phi$$

عند استعمال هذه العلاقات الثلاثة اعلاه حصل معادلة الشغل الادنى

باهمال التكاملي الثاني لم البسط نجد كنتيجه نراهيه بأن:-

$$H = \frac{fl^2}{8f} \left(\frac{1}{1+\beta} \right)$$

$$\beta = \frac{15}{32} \frac{l}{f^3} \frac{I_0}{A_0} \tan^{-1} \frac{4f}{l}$$

مثال:

القوس الشائبي المفاصل المتناظر الموضع ادناه يمتاز بما يلي:-

$$\text{فضاء القوس } l = 50 \text{ m}$$

$$\text{ارتفاع القوس } f = 10 \text{ m}$$

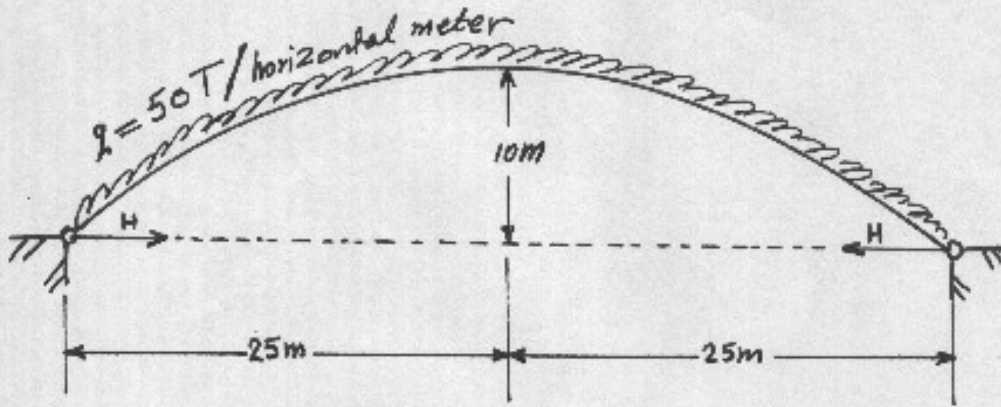
المقطع العرضي للقوس ذو شكل يادي 1 m وعرض 12 m

الحمل المنتظم التوزيع الشاقولي المقدر مع معامل امان

معقول للوزن الذاتي للقوس هو 50 Ton على كل متر طول

في فضاء القوس.

المطلوب ايجاد قوى الدفع الجانبي H عند المساند.



$$\beta = \frac{15}{32} \frac{50}{1000} \frac{12 \times 1^3 / 12}{1 \times 12} \tan^{-1} \frac{4 \times 10}{50} = 0.0755$$

$$H = \frac{50 \times 50^2}{8 \times 10} \times \frac{1}{1.0755} = 1453 \text{ T}$$

(Analysis of Continuous Bridges)

تحليل الجسور المستمرة ١-

(Moment Distribution Method)

طريقة توزيع العزوم

يمكن إيجاد المقدار التقريبي للعزوم في نهايات الجسور المستمرة ومن ثم يمكن رسم مخططات العزوم وكما يلي :-

(Stiffness Coefficient)

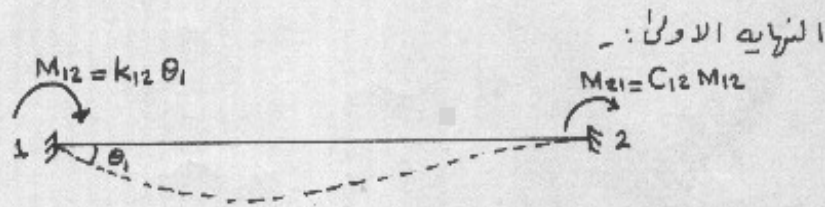
٢- معامل الصلادة

معامل الصلادة لجسر ما في إحدى نهايتيه يمثل مقدار العزم اللازم تسليطه لاجزاء دوران بمقدار وحدة واحدة مقاسه بـ (Radian). ويعتمد معامل الصلادة على فضاء الجسر (l) وعلى صلادة مقطع (EI) وكذلك على وضعيه تثبيت النهايه الاخرى من الجسر .

(Cary-over Factor)

٣- معامل انتقال العزم

معامل انتقال العزم من إحدى نهايات جسر إلى النهايه الاخرى يمثل مقدار نسبة العزم المنقول من النهايه الاولى إلى النهايه الاخرى وذلك عندما يكون الجسر تحت تأثير تسليط عزم في النهايه الاولى :-



$$k_{12} = \frac{4EI}{l}$$

$$C_{12} = \frac{1}{2}$$

في هذه الحالة :

معامل الصلادة للجسر

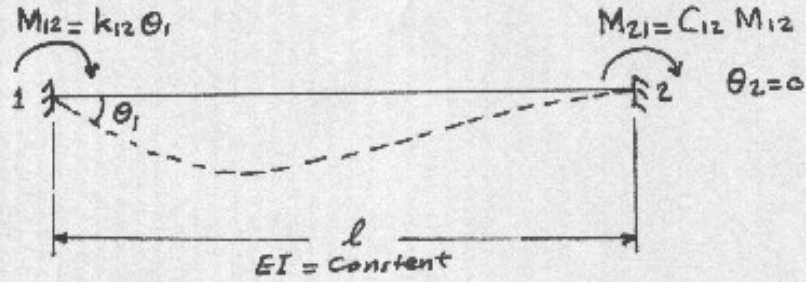
ومعامل الانتقال

أنواع معامل المصلده ومعامل انتقال العزم

نأخذ تقط جسر مستقيمه وذات مصلده مقطوع (EI) ثابتة لكل مقطوع من مقاطع الجسر .

(for far end is fixed)

(- في حالة النهايه البعيده المثبته :-)



باستخدام معادلات طريقه ال (Slope - Deflectio) وكافة اشاراتها :-

$$M_{12} = M_{12}^F + \frac{2EI}{l} (2\theta_1 + \theta_2 - \frac{3\Delta_{21}}{l})$$

$$\Delta_{21} = \Delta_2 - \Delta_1 = 0 \Rightarrow \text{No Deflection}$$

$$\theta_2 = 0 \Rightarrow \text{No slope at end 2}$$

$$M_{12}^F = 0 \Rightarrow \text{No load}$$

$$\therefore M_{12} = \frac{4EI}{l} \theta_1$$

∴ معامل المصلده للجسر في هذه النهايه يساوي :-

$$k_{12} = \frac{4EI}{l}$$

ويتفق الطريقه فأن :-

$$M_{21} = M_{21}^F + \frac{2EI}{l} (\theta_1 + 2\theta_2 - \frac{3\Delta_{21}}{l})$$

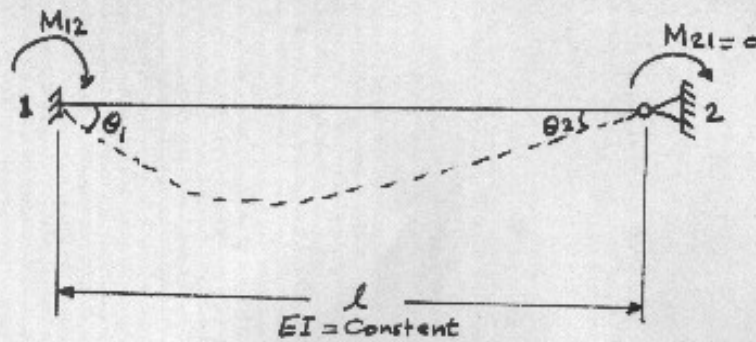
$$M_{21} = \frac{2EI}{l} \theta_1 = \frac{1}{2} M_{12}$$

$$C_{12} = \frac{1}{2}$$

∴ معامل الانتقال من النهايه الاولى الى الثانيه يساوي :-

(for far end is hinged)

2- عندما تكون النهايه البعيده مفصليه



نفرض ان النهايه البعيده (2) مفصليه ونفرض ان النهايه رقم (1) تحت تأثير عزيم
مقداره (M_{12}) والدوران الحاصل هو (θ_1) ، المطلوب ايجاد معامل
الصلادة للجسر من النهايه الاولى (k_{12}) ومعامل الانتقال للعزوم من النهايه
الاولى الى الثانيه وكما يلي :-

$$M_{12} = k_{12} \theta_1$$

$$M_{21} = C_{12} M_{12}$$

بما ان $M_{21} = 0$ لذن المسد مفصلي لذا فان معامل الانتقال يساوي :-

$$C_{12} = 0$$

لذا ايجاد معامل الصلاده k_{12} :-

$$M_{12} = M_{12}^F + \frac{2EI}{l} (2\theta_1 + \theta_2 - \frac{3\Delta_{21}}{l})$$

$$M_{21} = M_{21}^F + \frac{2EI}{l} (\theta_1 + 2\theta_2 - \frac{3\Delta_{21}}{l})$$

$$\Delta_{21} = \Delta_2 - \Delta_1 = 0 \Rightarrow \text{No Deflection}$$

$$M_{12}^F = M_{21}^F = 0 \Rightarrow \text{No Load}$$

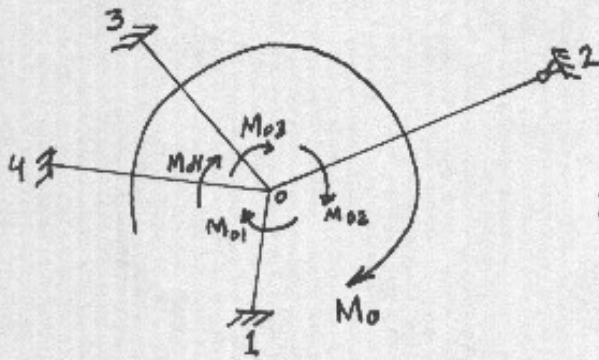
$$M_{21} = 0 \Rightarrow \text{Hing}$$

$$\therefore \theta_2 = -\frac{1}{2}\theta_1$$

$$k_{12} = \frac{3EI}{l}$$

$$\Rightarrow M_{12} = \frac{3EI}{l} \theta_1$$

∴ معامل الصلاده للجسر عند نهايته الاولى يساوي



نظرية توزيع العزم

نفرض ان مفصلاً صلباً داخلياً (o) تحت تأثير عزم (Mo) ورتلتي عدة جسر في هذا المفصل الداخلي هي 01 ، 02 ، 03 ، ... ، 0n

المطلوب ايجاد مقدار العزم المنقول الى نهاية الجسر. نفرض ان المفصل الداخلي حصل فيه دوران مقداره (θo) لما كان المفصل صلباً ، اذن تدور كل نهايات الجسر الملتقيه بهذا المفصل بنفس المقدار (θo) . وعليه فان العزم في نهايات الجسر تكون كما يلي :-

$$M_{o1} = k_{o1} \theta_o$$

$$M_{o2} = k_{o2} \theta_o$$

$$\vdots$$

$$M_{on} = k_{on} \theta_o$$

$$M_{o1} + M_{o2} + \dots + M_{on} = (k_{o1} + k_{o2} + \dots + k_{on}) \theta_o$$

$$= \theta_o \sum_{i=1}^n k_{oi}$$

$$\theta_o = \frac{1}{\sum_{i=1}^n k_{oi}}$$

$$\therefore M_o = M_{o1} + M_{o2} + \dots + M_{on}$$

$$M_{o1} = \frac{k_{o1}}{\sum_{i=1}^n k_{oi}} M_o$$

$$\therefore M_{o2} = \frac{k_{o2}}{\sum_{i=1}^n k_{oi}} M_o \dots \text{ وهكذا}$$

$$d_{on} = \frac{k_{on}}{\sum_{i=1}^n k_{oi}}$$

∴ عامل التوزيع (Distribution Factor) هو

ومقدار العزم في النهايات هي :-

$$M_{o1} = d_{o1} M_o$$

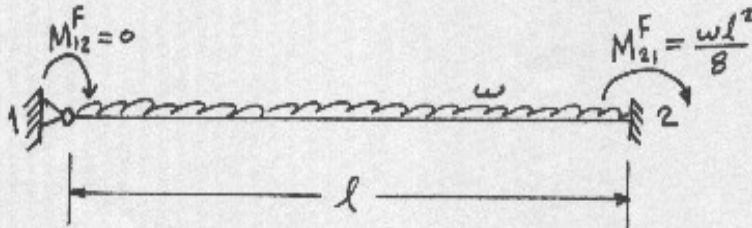
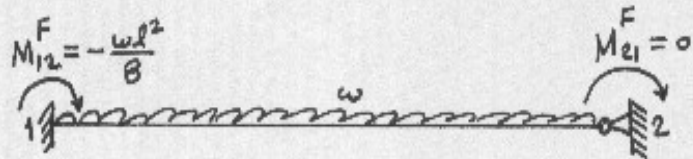
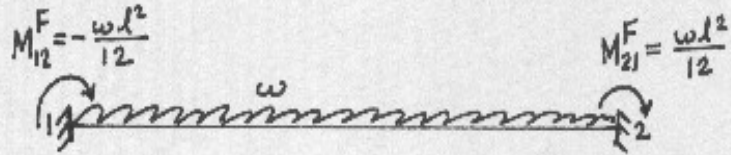
$$M_{o2} = d_{o2} M_o$$

} ⇒

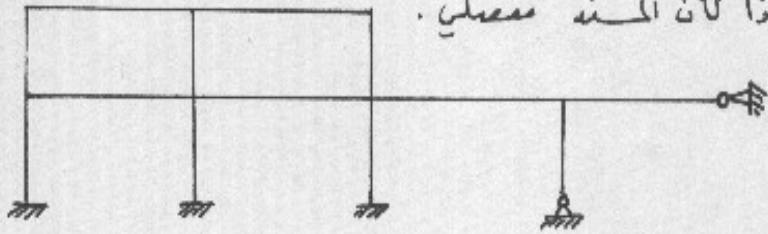
$$M_{on} = d_{on} M_o$$

الخطوات المتبعة في حل المسائل :-

1- نعتبر كل مقطع بين مفصلين داخليين كجسر مثبت بالنهايتين ونحسب عزوم التثبيت لوجود الاتقال على الجسور وكما يلي :-

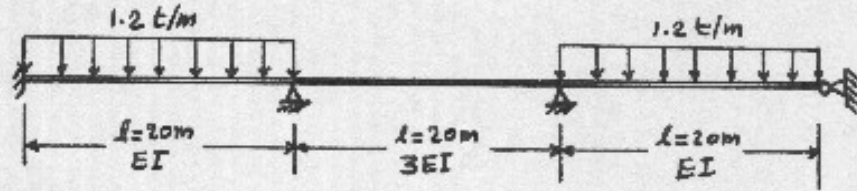


2- اما الجسود الواقعة في اطراف الهيكل فتعتبر متبته بالنهايتين اذا كان المند الخارجي مثبت وتعتبر متبته من الداخل وبمساند مفضلي من الخارج اذا كان المند مفضلي .

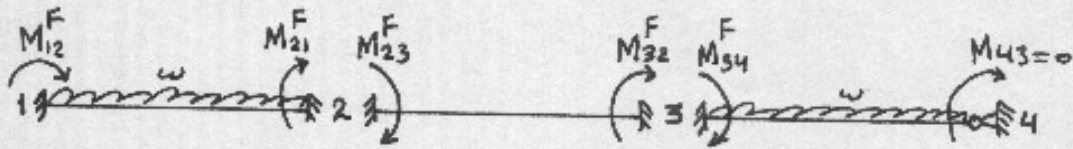


- 3- نحسب معامل المقلاده (k) لكل نهايات الجسور ثم نحسب معامل توزيع العزم (d)
- 4- نعتبر عزوم التثبيت كقيم ارليه بعدئذ نجري التصحيحات عليهما بحيث يتحقق توازن العزم في كل المفاصل .

مثال: اوجد (ي) مقادير العزوم عند مساند الجسر المستمر المستقر الموضحة ادناه ، وارسم (ي) مخطط عزوم الانحناء .



الحل: نُجزء الجسر ونحسب عزوم التثبيت بسبب طبيعة التحميل :-



$$M_{12}^F = -\frac{\omega l^2}{12} = -\frac{1.2(20)^2}{12} = -40 \text{ t.m}$$

$$M_{21}^F = \frac{\omega l^2}{12} = 40 \text{ t.m}$$

$$M_{23}^F = 0$$

$$M_{32}^F = 0$$

$$M_{34}^F = -\frac{\omega l^2}{8} = -\frac{1.2 \times (20)^2}{8} = -60 \text{ t.m}$$

$$M_{43}^F = 0$$

نحسب معامل الصلادة كما يلي :-

$$k_{12} = \frac{4EI}{l} = \frac{4EI}{20} = \frac{EI}{5}$$

$$k_{21} = \frac{EI}{5}$$

$$k_{23} = \frac{4EI}{l} = \frac{4(3EI)}{20} = \frac{3EI}{5}$$

$$k_{32} = \frac{3EI}{5}$$

$$k_{34} = \frac{3EI}{l} = \frac{3EI}{20}$$

$$k_{43} = \frac{4EI}{l} = \frac{4EI}{20} = \frac{EI}{5}$$

نحسب معاملات التوزيع كما يلي:

$$d_{12} = \frac{k_{12}}{k_{12} + \infty} = 0$$

$$d_{21} = \frac{k_{21}}{k_{21} + k_{23}} = \frac{\frac{EI}{5}}{\frac{EI}{5} + \frac{3EI}{5}} = \frac{1}{4}$$

$$d_{23} = \frac{k_{23}}{k_{21} + k_{23}} = \frac{\frac{3EI}{5}}{\frac{EI}{5} + \frac{3EI}{5}} = \frac{3}{4}$$

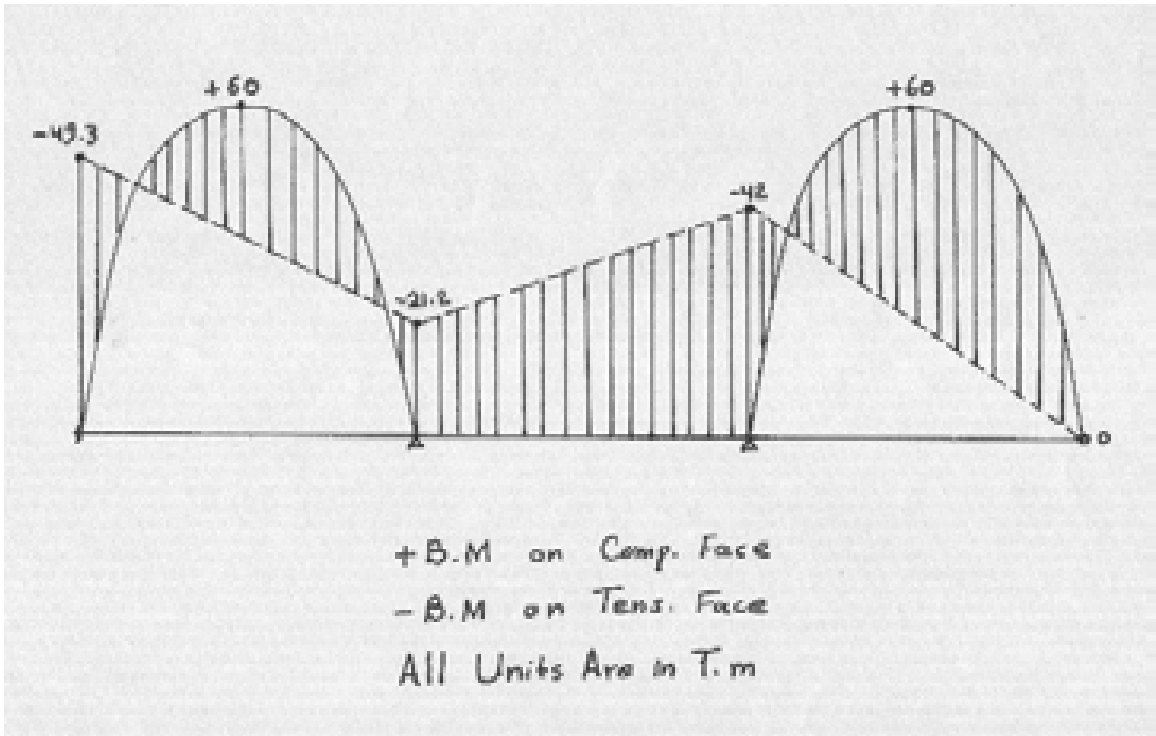
$$d_{32} = \frac{k_{32}}{k_{32} + k_{34}} = \frac{\frac{3EI}{5}}{\frac{3EI}{5} + \frac{3EI}{20}} = \frac{4}{5}$$

$$d_{34} = \frac{k_{34}}{\text{---} + \text{---}} = \frac{\frac{3EI}{20}}{\frac{3EI}{5} + \frac{3EI}{20}} = \frac{1}{5}$$

$$d_{43} = \frac{k_{43}}{k_{43} + 0} = 1 \Rightarrow \text{Hing}$$

الآن تجري عملية توزيع العزوم كما يلي: -

Nodes	1	2	3	4
Beams	1-2	2-1 2-3	3-2 3-4	4-3
Dist. Factor	0	$\frac{1}{4}$ $\frac{3}{4}$	$\frac{4}{5}$ $\frac{1}{5}$	1
Fixed End Moment	-40	+40 0	0 -60	0
out of balance	-	(+40)	(-60)	-
Distribution Moment	-	-10 -30	+48 +12	-
Carry-over Moment	-5	0 +24	-15 0	0
Balance	-45	+30 -6	+33 -48	0
out of balance	-	(+24)	(-15)	-
Dist. Moment	-	-6 -18	+12 +3	-
Carry-over M.	-3	- +6	-9 -	-
Balance	-48	+24 -18	+36 -45	0
out of balance	-	(+6)	(-9)	-
Dist. Moment	-	-1.5 -4.5	+7.2 +1.8	-
Carry-over M.	-0.75	- +3.6	-2.25 -	-
Balance	-48.75	22.5 -18.9	40.95 -43.2	0
out of balance	-	(+3.6)	(-2.25)	-
Dist. Moment	-	-0.9 -2.7	1.8 0.45	-
Carry-over M.	-0.45	- 0.9	-1.35 -	-
Balance	-49.2	21.6 -20.7	41.4 -42.75	0
out of balance	-	(+0.9)	(-1.35)	-
Dist. Moment	-	-0.225 -0.675	0.8 0.55	-
Carry-over M.	-0.1125	- 0.4	-0.3375 -	0
Balance	-49.31	21.4 -20.975	41.86 -42.2	0
End Moments	-49.31	21.2 -21.2	42 -42	0



PRE-STRESSED CONCRETE

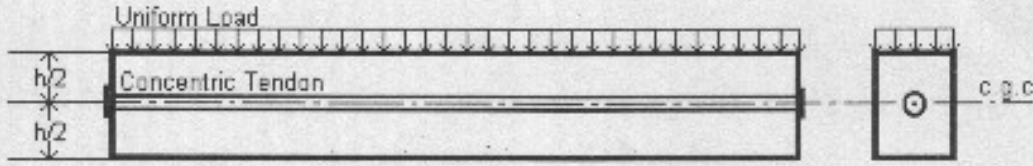
المقدمة:

تُقسَم المواد الانشائية بعموره عامه الى ثلاثه مجاميع .
المجموعة الاولى: المواد المقاومه للانضغاط ، كالحجر والطوب
ثم تطورت الى الخرسانه واحيراً الى الخرسانه عاليه المقاومه
(High-strength Concrete) .

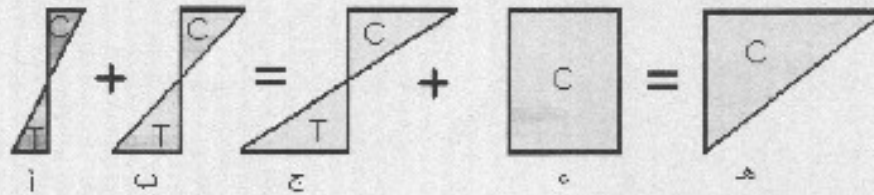
المجموعة الثانيه: المواد المقاومه للشد كقضبان الحديد ومقاطع
الحديد الانشائية واحيراً الحديد عالي المقاومه (High-strength Steel) .
المجموعة الثالثه: المواد التي تقاوم كلاً من الشد والانضغاط ، او
ما سمي الانحناء (Bending) . كالخشب ، والحديد الانشائي
والخرسانه المسلحه واحيراً الخرسانه مسبقة الاجهاد التي
تم تطويرها خلال الخمسين سنه الماضيه .

مبادئ سبب الاجهاد يمكن ايضاحها على ضوء عتبه بسيطه
ذات مقطع مستطيل ومحمله بحمل منتظم التوزيع ومكثف
عليها سبب اجهاد بواسطة قوه ماره يمرّزها الطولي
(Concentric Force) ، كما موضح في الشكل - 1 . وان
الاجهادات المتولده بسبب الاهدال المسلطه وقوه سبب الاجهاد
على هذه العتبه موضعه في الشكل - 2 .

يتضح من المخطط 2-ج انه اذا أُريد التخلص من اجهادات
الشد المؤثره على الالياف السفلى للمقطع والحاصله بسبب
الاهدال الميّه والحنيه ، يجب ان تكون اجهادات الانضغاط المنتظمه
الحاصله بسبب سبب الاجهاد والموضعه في المخطط 2-5 مساويه لها .

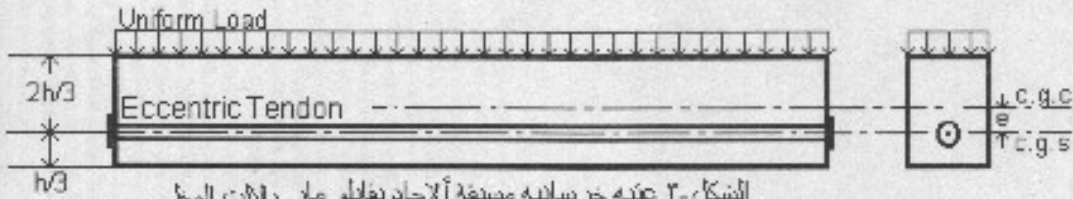


الشكل ١- عتبه خرسانيه مسبقه الإجهاد بقابلو مار بالمحور الطولي المركزي

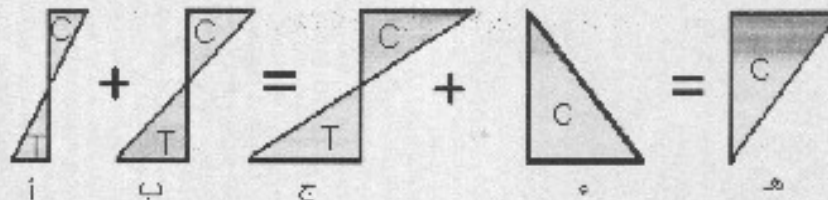


الشكل ٢- توزيع الإجهادات في منتصف فضاء العتبه المعرضه لسبق إجهاد مار بالمحور الطولي المركزي

- أ- إجهاد الأحمال الميتة ، ب- إجهاد الأحمال الحيه ، ج- إجهاد الأحمال الميتة + الأحمال الحيه
 د- إجهاد بسبب سبق الإجهاد ، هـ- الإجهاد الكلي بسبب الأحمال الميتة والحيه وسبق الإجهاد



الشكل ٣- عتبه خرسانيه مسبقه الإجهاد بقابلو مار بثلاث السطحي



الشكل ٤- توزيع الإجهادات في منتصف فضاء العتبه المعرضه لسبق إجهاد مار بثلاث السطحي

- أ- إجهاد الأحمال الميتة ، ب- إجهاد الأحمال الحيه ، ج- إجهاد الأحمال الميتة + الأحمال الحيه
 د- الإجهاد بسبب سبق الإجهاد ، هـ- الإجهاد الكلي بسبب الأحمال الميتة والحيه وسبق الإجهاد

إن هذا ما يوضح الفرق الرئيسي بين الخرسانة المسلحة الأليافية
وبين الخرسانة مسبقة الإجهاد. ففي الأولى يتم استخدام
كل من الخرسانة والحديد التسليح مع بعضهما وتركها يعملان
كما يشاءان. بينما في حالة سبب الإجهاد يتم استخدام
الخرسانة عالية المقاومة مع الحديد عالي المقاومة ليمرر فعاله.
إن هذا الاستخدام الفعال يؤدي للاستثمار الأفضل للمادتين.
فالحديد المقام لقوى الشد يكون معرضاً للشد بواسطة سبب
الإجهاد، أما الخرسانة الهشة (Brittle Material) يتم تحسين
قابليتها لمقاومة الشد بواسطة الضغط المسلط عليها وبدون
الإضرار بقابلية مقاومتها للانضغاط.

إن توزيع الإجهاد النهائي المرفق في الشكل 2- هـ بسبب الإجهادات
الأعمال الميعة والحيه وقوة سبب الإجهاد تشير لعدم وجود
إجهادات شد في كامل المقطع وبالتالي عدم وجود شقوق (Cracks)
بسبب ضغط الخرسانة في مقاومتها لإجهادات الشد، وعليه حصل
على مقطع أكثر صلابة (stiffer section) باستخدام نفس
الكمية من المواد الإنشائية.

إن سبب الإجهاد باستثناء قوه مركزية كما ورد أعلاه له
مساوئ تتلخص بأن الألياف العليا للمقطع عليها أن تقاوم
إجهادات الانضغاط الناشئة بسبب سبب الإجهاد إضافة
إلى إجهادات الانضغاط الناشئة بسبب الأعمال القصصية.

إذا تم استخدام نفس المقطع الخرساني لكن موقع موه
سبق الاجهاد من تغيرها بحيث تقع في الثلث الاسفل
للمقطع ، كما في الشكل - 3 ، فان توزيع الاجهادات بسبب
الاصحاح التجميعي وموه سبق الاجهاد تكون كما موضحة
في الشكل - 4 .

في هذه الحالة ، وكما في الحالة السابقة ، تكون اجهادات الانحناء
في الالياف العليا والناتجة بسبب سبق الاجهاد ، كما في
المنطق 4 - 5 ، عليه ان تكون صافية باطلاق لمجموع اجهادات
الشد الناتجة بسبب الاصحاح التجميعي والموضحة في الشكل
4 - 6 .

عند ملاحظة منطقي الاجهاد الناتج بسبب سبق الاجهاد في
الشكلين 1 - 5 ، 4 - 5 ، يكون من الواضح ان معدل
الاجهاد في الحالة الثانية يارب فقط نصف المطلوب
للحالة الاولى . عليه يمكن الاستنتاج بان موه سبق الاجهاد
الكلية المطلوب لتلبي سبق الاجهاد المطلوب للحالة الثانية
ستكون مساوية لنصف مقدارها في الحالة الاولى .
اصافه لذلك ، فان الالياف العليا للمقطع لا يكون مطلوباً
منها تحمل ابي اجهادات انضغاط اضافية بسبب سبق الاجهاد .
في الحالات العلية ، بين السبع يتواءم اجهادات شد في
الياف العليا بطريقة تضمن بقاء هذه الاجهادات اقل من
قابلية تحمل الخرسانة للاجهادات الشد ، وذلك للاستفادة
العنصرية من مقاربه الخرسانة وللوصول الى تصميم اكثر اقتصادياً .

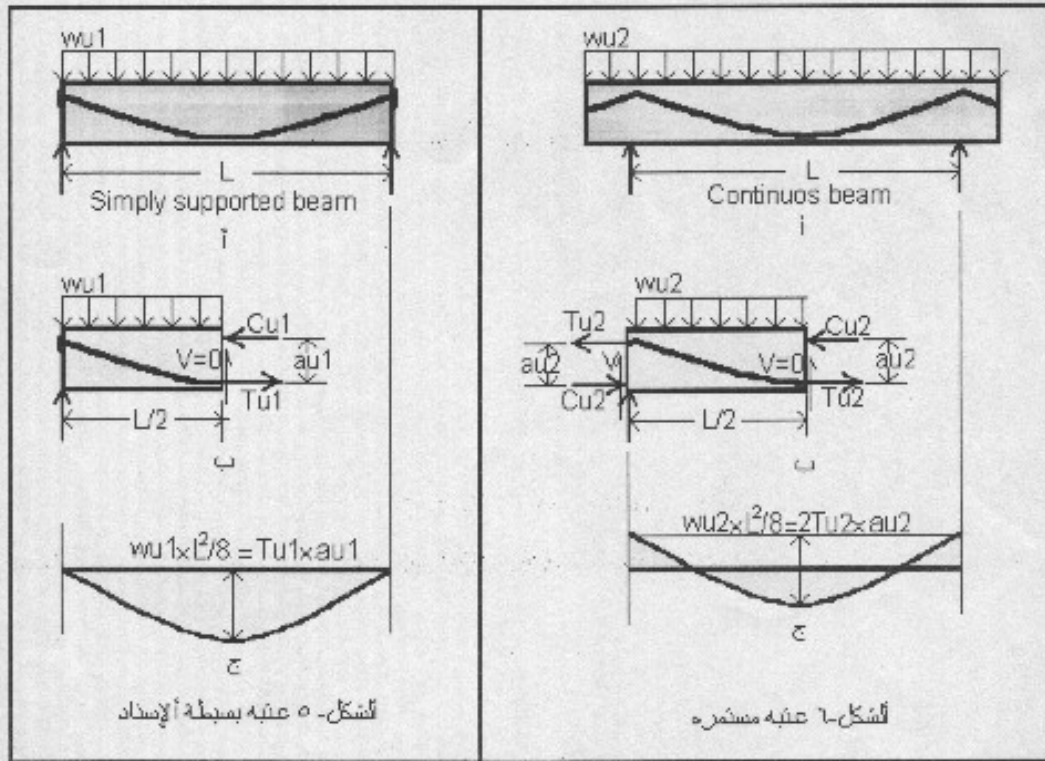
لما كان المقطع المطلوب لعنقه مسبقة الإجهاد أقل من مثيلتها
في الخرسانة الاقتصادية يكون هناك توفير في كميات المواد المستخدمة.
كما أنه هناك توفير في كمية حديد التسليح المقارن للقسم
وذلك لأن القسم يكون أقل في الخرسانة المسبقة الإجهاد
وذلك بسبب استخدام القابلات المنحنية أو المائلة
(Inclined or Curved Tendons).

بإجراء مقارنة بسيطة بين مقاوم عنقه بسبب الإجهاد
وأخرى مستمرة سوف يتم استعراض الجوانب الاقتصادية
المستحصلة من خلال استخدام الخرسانة مسبقة الإجهاد المستمرة.
يوضع الشكل - 5 عنقه فرسانيه مسبقة الإجهاد بسبب الإجهاد
محملة بحمل منتظم التوزيع w_{u1} . فإذا كان الشد الأقصى T_{u1}
المطل على القابل والواقع على مسانه α_{u1} في الألياف العليا.
فإن عزم المقاومة الأقصى عند منتصف الفناء يبلغ $T_{u1} \times \alpha_{u1}$
يوضع الشكل - 5- ب القوى المؤثرة على نصف العنق، فنجد
شاورين عزم الانحناء العمودي الخارجيه مع عزم المقاومة الأقصى الداخلي
مقابل على:-

$$\frac{w_{u1} l^2}{8} = T_{u1} \times \alpha_{u1}$$

$$w_{u1} = 8 T_{u1} \times \alpha_{u1} / l^2$$

ويوضع الشكل - 5- ج منطقتي العزم الناشئة بسبب الحمل
الأقصى w_{u1} .



من خلال ملاحظة الشكل 6-7، الذي يمثل عتبة مستمرة بنفس المقطع وطول الفضاء L، ونفس طريقة سبقت الاجراء للعتبة في الشكل 5، عندما نأخذ المقطع الوسطي منه ونأخذ القزوم حول المسد اليسر

نجد ان:

$$\frac{w_{u2} l^2}{8} = 2T_{u2} \times a_{u2}$$

$$\therefore w_{u2} = 16 T_{u2} \times a_{u2} / l^2$$

وكما موضح في مخطط القزوم في الشكل 6-7 ج، الذي يوضح وجود عزمين مقاوميه احداهما عند منتصف الفضاء والاخر فوق المسد.

من خلال المقارنه بين المخططين الخاصين بالقزوم 5-ج، 6-ج نلاحظ ان العتبة المستمرة تتمكن من حمل ضعف الاحمال التي تتمكن العتبة البسيطة الاسناد من تحملها، وينتج مقادير الحواد لذا تقل الامزان ومن ثم القزوم في العتبات المستمرة ويقال ايضاً ان (Deflection) للدعائم منه محدد طول بعقدار $\frac{1}{45}$ او $\frac{1}{48}$ تستخدم بدلاً من $\frac{1}{20}$ او $\frac{1}{25}$.

مثال تطبيقي

مطلوب إنشاء جسر لعبور الاشخاص ، يربط مباشرةً
فرع الانشابات مع فرعي الجسور والسدود في الطابق
الثاني من بناء القسم . وذلك لمعالجة الافتتاح المروري
الحاصل بسبب ضيق الممرات وسوء تفهيم اضاعتها الطبيعية .
يوضح الشكل - ٧ موقع الجسر المطلوب ، بينما يوضح
الشكل - ٨ المقطع العرضي المقترح للجسر المُسقف المذكور .
يتكون الجسر من عتبتين فرسائيتين مسبقتي الاجزاء
تعلدن بشكل مُركب مع قطع فرسائيه مسلحه مسبقه الصلب
مضافاً الى طبقة من المرسانه المسلحه المرقيه الصلب . هذه
الاجزاء تمثل ارضية الجسر ، تبرز عن طرفيها عدد من الاعمده
الفرسائيه المسبقة الصلب رصوداً الى سقف الخرسانه بحيث
يكون الارتفاع الصافي للممر يساوي ٢.٤ م . هذا ويتم
تفليح جانبي الجسر بالزجاج . مع فرش طبقة مربه على سطحه .

* المطلوب تفهيم الارضيه (Plank Floor) والعتبات
(Prestressed Composite Edge Beams) وفقاً للمواصفة BS8110

بحيث تتحمل بأمان الاعمال التاليه :-

150 kg/m²

٢- الاعمال الخيه على سطح الجسر

600 kg/m²

٣- الاعمال الميه وتدفن مواد الانزله و

الوزان الذاتي للعتبات والارضيه .

400 kg/m²

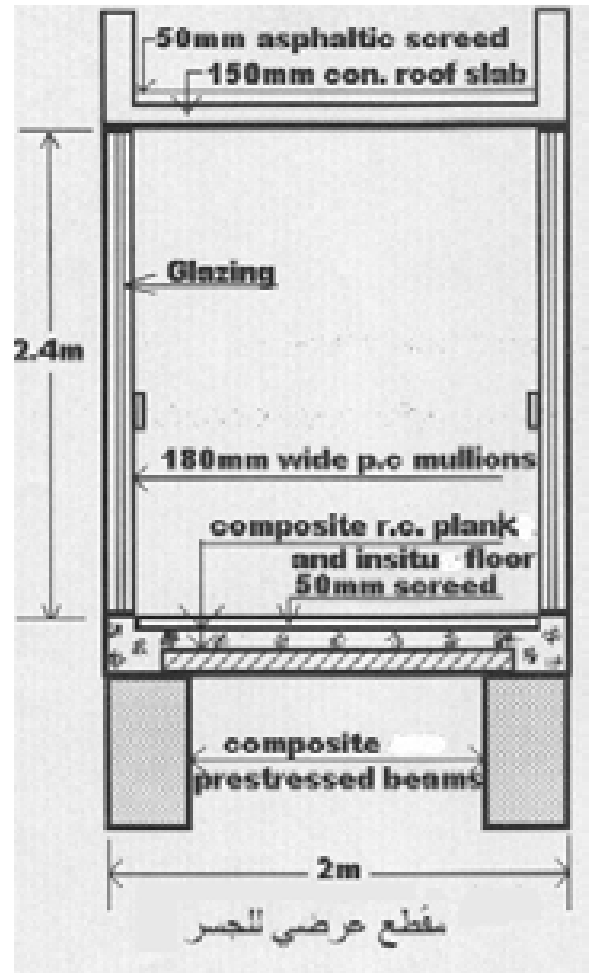
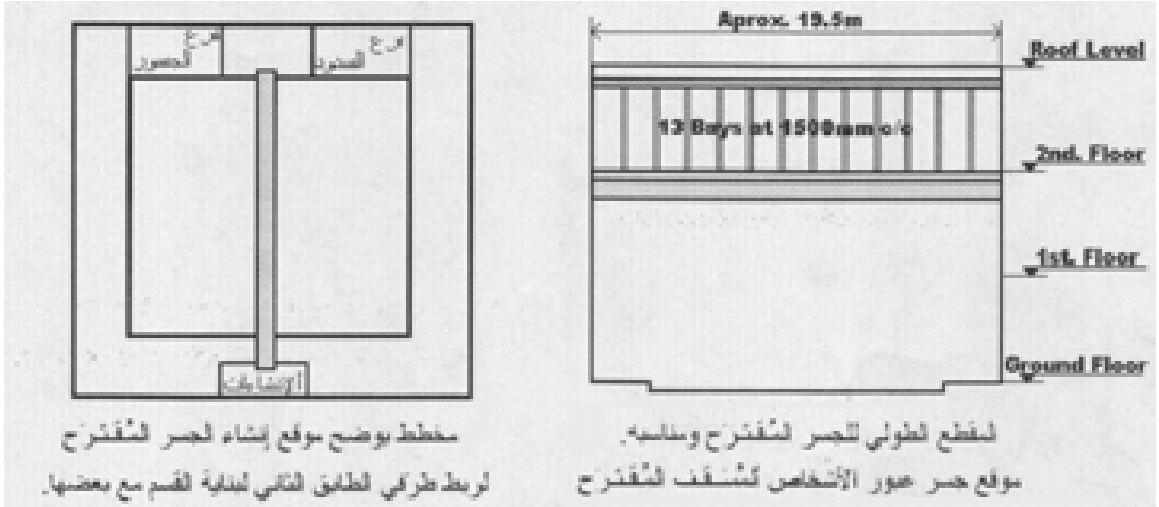
٤- الاعمال الخيه على ارضيه الجسر

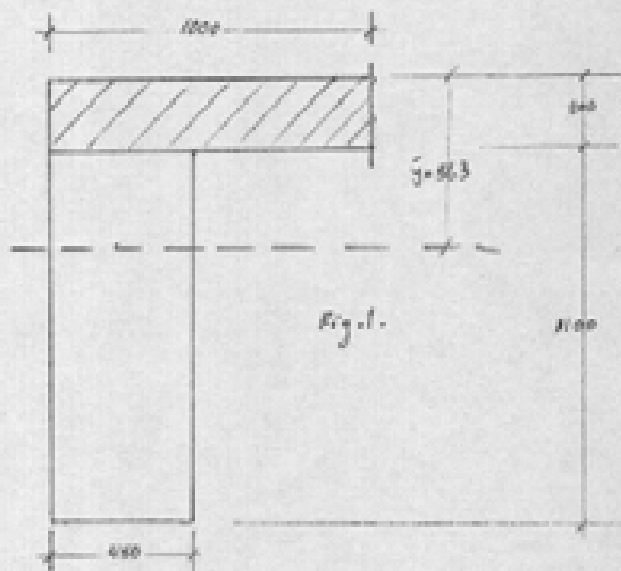
200 kg/m²

٥- اعمال تكليليه وهدمات

100 kg/m²

٥- اعمال بسبب الرياح بمقدار



Ref.	Calculation
	(prestressed beam design)
CP110 T55	Assume fire resistance = 1h • Class 2 exposure
• T19	Cover required = 40 mm
• T28	Concrete strength = 50 N/mm ²
<p>Design load.</p> <p>a) self weight of beam + slab only</p> <p>(dimension in mm as shown in fig. 1.)</p>	 <p style="text-align: center;">Fig. 1.</p>
	$SW = 24(0.2 \times 1 + 0.45 \times 1.1) = 16.68 \text{ kN/m}$
	<p>Note (all other loading will be considered to act on the composite section).</p>

ref.	<p style="text-align: center;">Calculation</p> <p style="text-align: center;">↳ Design for serviceability limit state</p>
	<p>Bending moment M_1 (simply supported rectangular beam).</p> $M_1 = \frac{7L^2}{8} = 16.68 \times 20^2 / 8 = 834 \text{ kN.m}$ <p>cpus 132 max comp stress due to bending = 0.33 fcu</p> $f_1 = 0.33 \times 50 = 16.5 \text{ N/mm}^2 = 16500 \text{ kN/m}^2$ <p>Section modulus required $Z_{req} = \frac{M_1}{f_1} = \frac{834}{16500} = 0.05 \text{ m}^3$</p> <p>Beam second moment of Area</p> $I_{yy} = \frac{bh^3}{12} = \frac{0.45 \times (1.1)^3}{12} = 0.05 \text{ m}^4$ <p>section modulus available $Z_{av} = \frac{I_{yy}}{h/2} = \frac{0.05}{1.1/2} = 0.09 \text{ m}^3$</p> <p>max actual tensile stress = $\frac{834 \times 10^6}{0.09 \times 10^7} = 9.25 \text{ N/mm}^2$</p> <p>d 3.3.13 check slenderness ratio for trial section & d 4.5.12 $60bc = 60 \times 0.45 = 27 \text{ m}$ $250b^2/d = 250 \times 0.45^2 / 1.1 = 46 \text{ m}$ } $\nless 20 \text{ m} \checkmark \text{ o.k}$</p>

ref	Calculations
	<p>b) imposed loads (Consisting of all working loads acting on the simply supported Composite T beam) except self weight of Rectangular beam and slab)</p> <p>imposed load from roof = 1.5 kN/m imposed load from floor = 4.0 kN/m dead load including finishes and self weight of beams and slab = 6.0 kN/m finishes, services on + + + = 2.0 kN/m self weight of p.c. walls = $0.18 \times 0.18 \times 2.4 \times 24 \times 1.5 = 0.7$ kN/m</p> <p>Total working load = 14.2 kN/m</p> <p>Bending moment $M_2 = \frac{wl^2}{8} = \frac{14.2 \times 30^2}{8} = 710$ kN.m</p> <p>section modulus req = $\frac{710}{16500} = 0.043$ m³</p> <p>depth of centroid from top of Composite section</p> $\bar{y} = \frac{1 \times 0.2 \times 0.1 + 0.45 \times 1.1 \times 0.75}{0.2 \times 1 + 0.45 \times 1.1} = 0.563$ m from Top

ref.

Calculations

second moment of area for the Composite section

$$\begin{aligned}
 I_{yy} &= \frac{1 \times (0.2)^3}{12} + 1 \times 0.2 \times (0.563 - 0.100)^2 \\
 &+ \frac{0.45 \times (0.1)^3}{12} + 0.45 \times 1.1 \times (1.1 \times 0.5 + 0.200 - 0.563)^2 \\
 &= 0.11 \text{ m}^4
 \end{aligned}$$

$$\text{section modulus (bottom)} = \frac{0.11}{1.1 + 0.2 - 0.563} = 0.15 \text{ m}^3$$

$$\text{section modulus (top)} = \frac{0.11}{0.563} = 0.197 \text{ m}^3$$

$$\text{max comp stress (top)} = \frac{710 \times 10^6}{0.197 \times 10^3} = 9.60 \text{ N/mm}^2$$

$$\text{max ten stress (bottom)} = \frac{710 \times 10^6}{0.15 \times 10^3} = 4.73 \text{ N/mm}^2$$

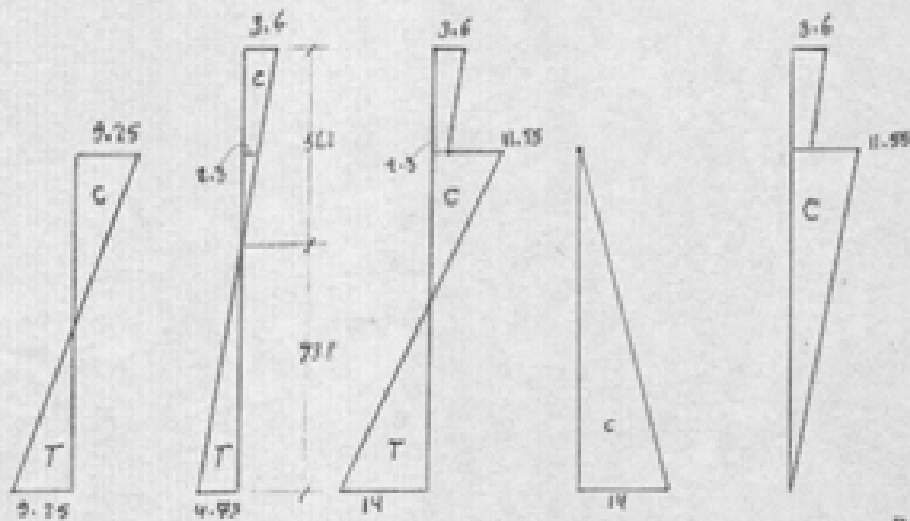
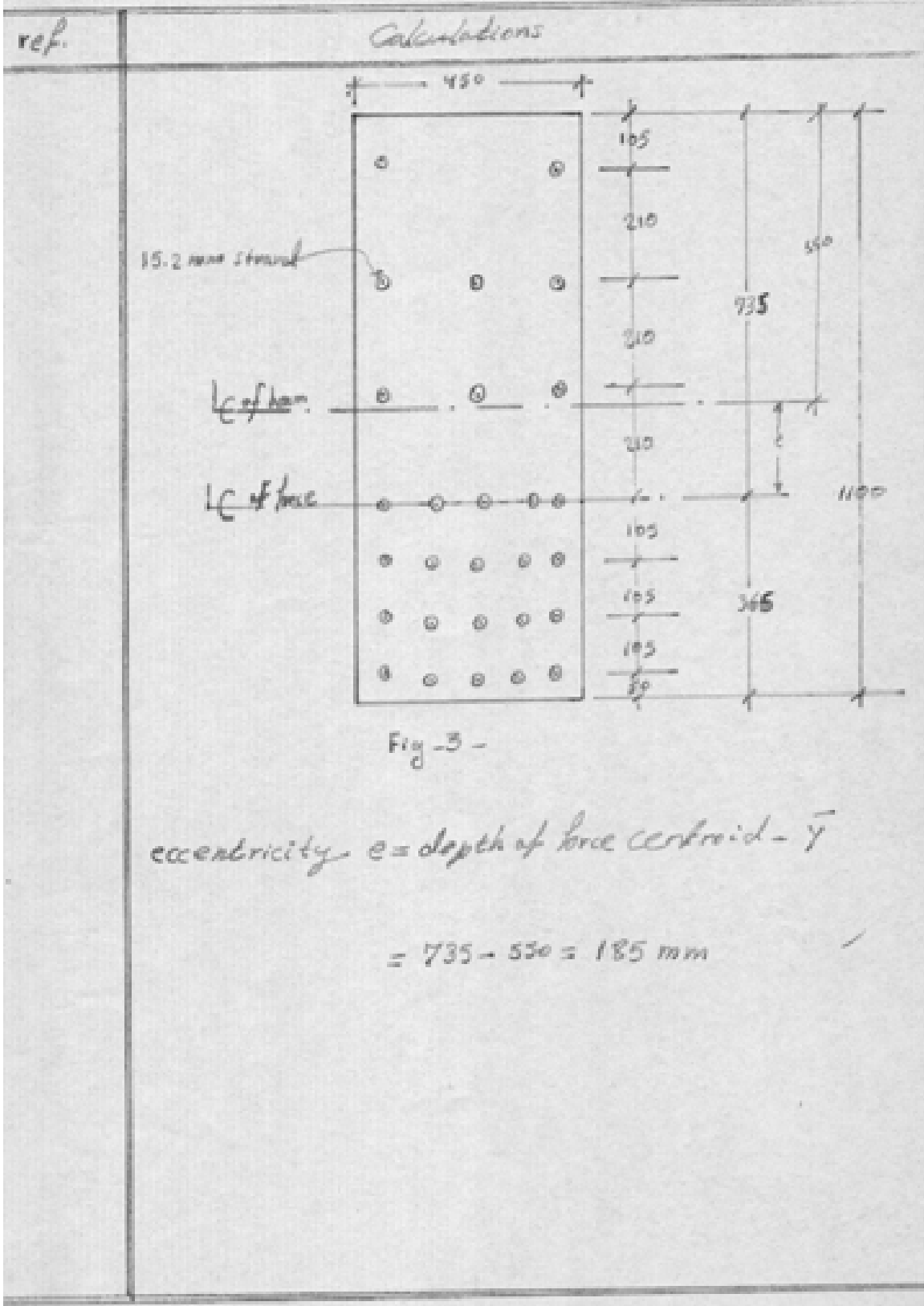


Fig-2

ref	Calculations
	<p data-bbox="397 373 581 426">in fig-2-</p> <p data-bbox="397 485 1360 653">a = stress diagram for the rectangular prestressed beam due to self weight only.</p> <p data-bbox="381 699 1312 867">b = stress diagram for the composite prestressed beam due to the remaining working loads.</p> <p data-bbox="381 947 544 982">c = a + b</p> <p data-bbox="381 1062 857 1115">D = prestressing diagram</p> <p data-bbox="381 1188 535 1224">E = c + D</p> <p data-bbox="381 1304 1352 1482">Total prestressing force required = volume of stress block (Fig.2 - D)</p> <p data-bbox="381 1566 1101 1619">$T_f = \frac{1}{2} \times 14 \times 1000 (0.45 \times 1.1) = 3465 \text{ kN}$</p>

ref	Calculations
spno 130 cl 4.14.3	<p>using 15.2 mm strand</p> <p>characteristic strength = 227 kN (Aps/ps)</p> <p>Area = 138.7 mm² (Aps)</p> <p>initial prestressing = 70% assuming 20% losses in service and 10% at transfer</p> <p>initial force in strand = 227 x 0.7 = 158.9 kN</p> <p>assuming initial estimate of losses = 245 N/mm²</p> <p>∴ loss of force/strand = 0.245 x 138.7 = 34 kN</p> <p>∴ force/strand after losses = 158.9 - 34 = 125 kN</p> <p>∴ No. of strands required = $\frac{3465}{125} = 27.7$ say 28</p> <p>distance down to the centroid of force</p> <p>= $2 \times 1/3 = 0.733$ m</p> <p>The Centroid of strands must coincide with that</p>



Ref.	Calculations.
	<p data-bbox="592 296 1161 346">"limit state check on section"</p> <p data-bbox="414 422 982 493">1) Limit state of deflection.</p> <p data-bbox="251 556 389 661">BS8110 cl 3.2.1.2</p> <p data-bbox="406 535 1356 724">a) deflection at transfer not to exceed span/350 for $f_{cu} = 40 \text{ N/mm}^2$</p> <p data-bbox="300 787 381 850">T7.2</p> <p data-bbox="414 787 1063 850">Concrete modulus of elasticity = 28</p> <p data-bbox="406 892 1323 976">prestressing force = 3465 kN based on losses of</p> <p data-bbox="397 1039 1372 1123">$\frac{34}{158.9} \times 100 = 21.4\%$ but at transfer losses about 10%</p> <p data-bbox="397 1165 982 1239">prestressing force at transfer</p> <p data-bbox="430 1312 998 1396">$= 3465 \times \frac{100 - 10}{100 - 21.4} = 3967 \text{ kN}$</p> <p data-bbox="406 1438 1112 1512">Bending moment due to this force</p> <p data-bbox="430 1585 950 1648">$= 3967 \times 0.185 = 734 \text{ kN.m}$</p> <p data-bbox="397 1711 1153 1785">upward deflection due to this force</p>

Ref	Calculations
BS8110 cl 3.2.1 T.7.2	$\delta_p = \frac{Ml^2}{8EI} = \frac{734 \times 20^3}{8 \times 28 \times 10^6} = 0.026 \text{ m } \uparrow$
	$\text{span to deflection ratio} = \frac{20}{0.026} = 770 > 350 \quad \checkmark \text{ o.k}$
	<p>without taking self weight deflection into account</p>
	<p>b) deflection in service must not to exceed span/250</p>
	<p>for $f_{cu} = 50 \text{ N/mm}^2 \Rightarrow E_c = 31$</p>
	<p>1) deflection due to dead load on rectangular section δ_1</p>
	$\delta_1 = \frac{5w_1 l^4}{384 EI} = \frac{5 \times 16.6 \times 20^4}{384 \times 31 \times 10^6} = 0.0227 \text{ m } \downarrow$
	<p>2) deflection due to other loads on composite section δ_2</p>
	$\delta_2 = \frac{5w_2 l^4}{384 EI} = \frac{5 \times 14.28 (20)^4}{384 \times 31 \times 10^6} = 0.0086 \text{ m } \downarrow$
	<p>Total downward deflection due to all loads δ_3</p>
$\delta_3 = \delta_1 + \delta_2 = 0.0227 + 0.0086 = 0.0313 \text{ m } \downarrow$	
<p>3) upward deflection due to prestressing force δ_p</p>	
$\delta_p = \frac{Ml^2}{8EI} = \frac{125 \times 28 \times 0.185 (20)^2}{8 \times 31 \times 10^6} = 0.0208 \text{ m } \uparrow$	
<p>net deflection $\delta_4 = \delta_3 - \delta_p = 0.0313 - 0.0208 = 0.0105 \text{ m } \downarrow$</p>	
$\text{span to deflection ratio} = \frac{20}{0.0105} = 1960 > 250 \quad \checkmark \text{ o.k}$	

Ref	Calculations
-----	--------------

check stress at transfer

max stress in concrete for only 10% losses

$$= 14 \times \frac{100-10}{100-21.4} = 16 \text{ N/mm}^2 < 16.5 \text{ N/mm}^2 \text{ o.k.}$$

Bending moment at mid span due to selfweight

$$= 16.68 \times 20^2 / 8 = 834 \text{ kN.m}$$

$$\text{external fibers stress} = \frac{834}{0.09} = 9266 \text{ kN/m}^2$$

minimum concrete strength at transfer

BS 8110
cl 4.3.5.1

$$= \frac{16}{0.5} = 32$$

$$\text{or } = \frac{9266}{0.4 \times 1000} = 23$$

} < 40 N/mm² as assumed o.k.

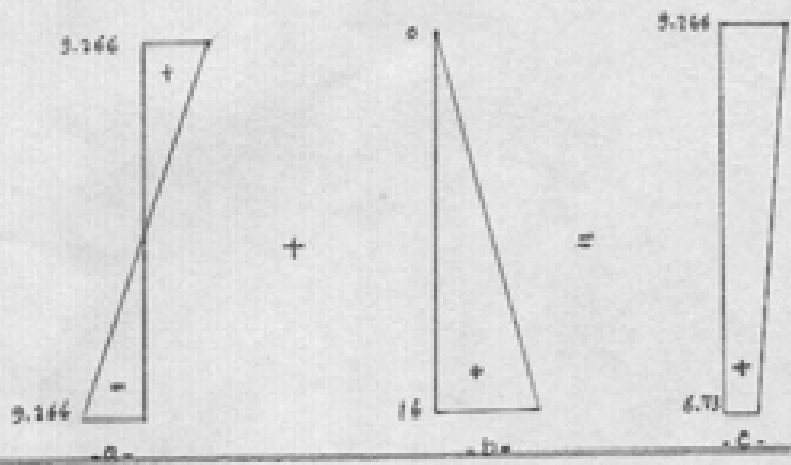


Fig. 4.

Ref.	Calculations
	<p data-bbox="565 296 1341 348" style="text-align: center;"><i>'More Accurate Assessment of Losses'</i></p> <p data-bbox="272 436 402 531">CP110 cl 4.8.2.2</p> <p data-bbox="435 436 974 489">1) Relaxation of steel :-</p> <p data-bbox="440 552 1357 615">using cold drawn low relaxation wire</p> <p data-bbox="261 678 399 783">BS 2691 T6</p> <p data-bbox="272 804 402 909">CP110 cl 4.8.2.3</p> <p data-bbox="435 793 1170 846">2) Elastic deformation of concrete</p> <p data-bbox="427 919 719 972">a) at transfer</p> <p data-bbox="427 1056 735 1108">i) at support</p> <p data-bbox="459 1161 1325 1224">stress in concrete at level of centroid</p> <p data-bbox="451 1318 946 1381">$= \frac{735}{1100} \times 16 = 10.7 \text{ N/mm}^2$</p> <p data-bbox="240 1455 402 1570">BS 8110 cl 3.6(b)</p> <p data-bbox="427 1455 800 1507">$E_s = 200 \text{ kN/mm}^2$</p> <p data-bbox="427 1591 768 1654">$\alpha_e = \frac{200}{28} = 7.14$</p> <p data-bbox="427 1717 1357 1770">Loss of prestress = $7.14 \times 10.7 = 76.5 \text{ N/mm}^2$</p>

Ref	Calculations
	<p>Loss of force/wire = $\frac{138.7 \times 76.3}{1000} = 10.6 \text{ kN}$</p> <p>% losses = $\frac{10.6}{158.9} = 6.67\%$ **</p> <p>ii) at midspan</p> <p>stress in concrete at level of Centroid due to self weight</p> <p>= $(9.266 + 9.266) \times 735 / 1100 - 9.266 = 3.1 \text{ N/mm}^2$</p> <p>net stress due to self weight and ps</p> <p>= $10.7 - 3.1 = 7.6 \text{ N/mm}^2$</p> <p>% losses = $\frac{7.6}{10.7} \times 6.67\% = 4.74\%$ **</p> <p>b)) In service</p> <p>i) at support</p> <p>stress in concrete at level of Centroid</p>

Ref.	Calculations
B38110 T7.2	<p>from fig - 2 -</p> $= 14 \times \frac{(735 + 200)}{1700} = 985 \text{ N/mm}^2$ <p>$E_c = 31$ for $f_{cc} = 60 \text{ N/mm}^2$</p> $\omega_c = \frac{200}{31} = 6.45$ <p>Losses of prestress = $6.45 \times 985 = 6365 \text{ N/mm}^2$</p> $\% \text{ Losses} = \frac{6365}{76.5} \times 6.45\% = 5.08\% \quad \text{A.A.}$ <p>ii) at mid span</p> <p>stress in concrete at level of Centroid</p> $= 1156 \times \frac{363}{1700} = 3.83 \text{ N/mm}^2 \quad (\text{from fig - 2 - E})$ $\% \text{ Losses} = \frac{3.83}{985} \times 5.08\% = 2.1\% \quad \text{A.A.}$

Ref.	Calculations
CP110 T41	<p>shrinkage of concrete losses</p> <p>max shrinkage strain per unit length = 0.04%</p> <p>hence the losses of stress = $200 \times 10^3 \times \frac{0.04}{100} = 80 \text{ N/mm}^2$</p> <p>% losses of prestress (finally) = $\frac{80}{76.5} \times 6.45\% = 6.7\%$</p>
CP110 d 4.8.35	<p>Creep of Concrete Losses</p> <p>for Cube strength at transfer = 40 N/mm²</p> <p>Creep / unit length = 48×10^{-6} per N/mm²</p> <p>i) support concrete stress $> \frac{1}{3} \times 40$</p> <p>\therefore losses = $48 \times 10^{-6} \times 1.25 \times \frac{16}{30} = 4.8 \times 10^{-5}$</p> <p>stress at centroid = 10.7 N/mm²</p> <p>creep / unit length = $10.7 \times 4.8 \times 10^{-5} = 5.136 \times 10^{-4}$</p> <p>loss in stress = $5.136 \times 10^{-4} \times 200 \times 10^3 = 102.7 \text{ N/mm}^2$</p>

Ref	Calculations
	$\% \text{ losses} = \frac{102.7}{76.5} \times 6.45 = 8.66\% \quad **$ <p>ii) at mid span</p> <p>Concrete stress $< \frac{1}{3} \times 40$</p> $\text{losses} = 48 \times 10^{-6}$ <p>stress at centroid = 935 N/mm^2</p> $\text{Creep / unit length} = 935 \times 48 \times 10^{-6} = 44.8 \times 10^{-5} \text{ N/mm}^2$ $\text{Loss in stress} = 44.8 \times 10^{-5} \times 200 \times 10^3 = 90 \text{ N/mm}^2$ $\% \text{ losses} = \frac{90}{76.5} \times 6.45 = 7.55\% \quad **$
cp10 cl 4.8.2.6	Anchorage losses - allowed for in stressing.

Ref.	Calculations
	Summary of losses
	a) at transfer
	i) support losses = $2 + 6.67 = 8.67\%$
	ii) midspan losses = $2 + 4.74 = 6.74\%$
	b) in service = 2 +
	i) support losses = $2 + 5.08 + 8.66 + 6.7 = 22.43\%$
	ii) midspan losses = $2 + 2.1 + 7.55 + 6.7 = 18.35\%$
	effect of errors in loss Assumptions
	stress block becomes
	a) transfer
	i) support $16 \times \frac{100 - 8.67}{100 - 10} = 16.23 \text{ N/mm}^2$
	ii) midspan $16 \times \frac{100 - 6.74}{100 - 10} = 16.58 \text{ N/mm}^2$

Ref.

Calculations

minimum concrete strength at transfer

$$= \frac{16.23}{0.5} = 32.46$$

$$\text{or } = \frac{16.58 - 9.266}{0.4} = 18.3$$

} < 40 ✓ o.k

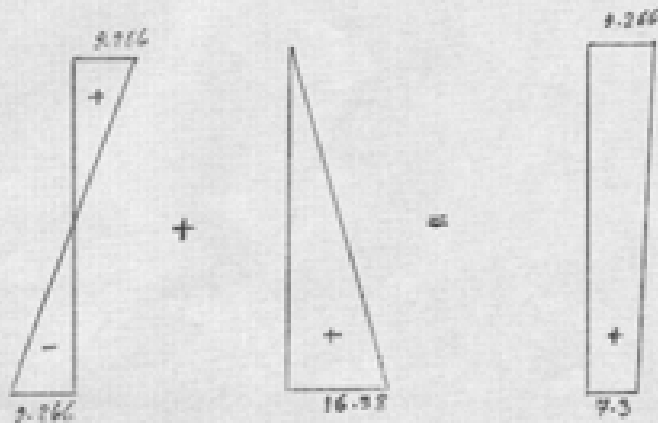


fig 5 - stress diagram midspan transfer

b) in service

i) at support

$$14 \times \frac{100 - 22.43}{100 - 21.4} = 13.75$$

$$2\text{ii) at mid span } 14 \times \frac{100 - 18.35}{100 - 21.4} = 14.54$$

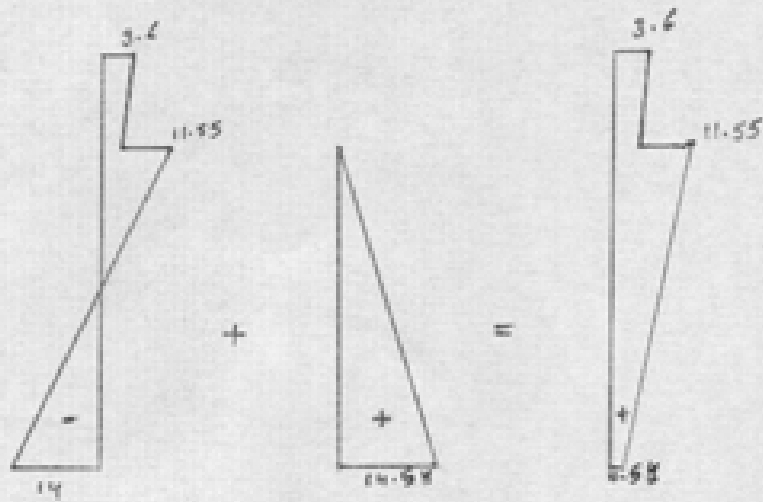


Fig-6 - stress diagram midspan (service)

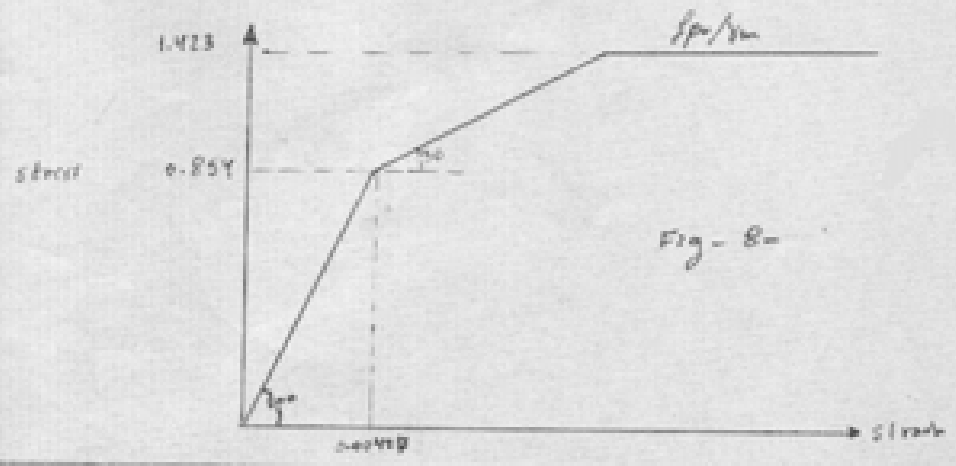
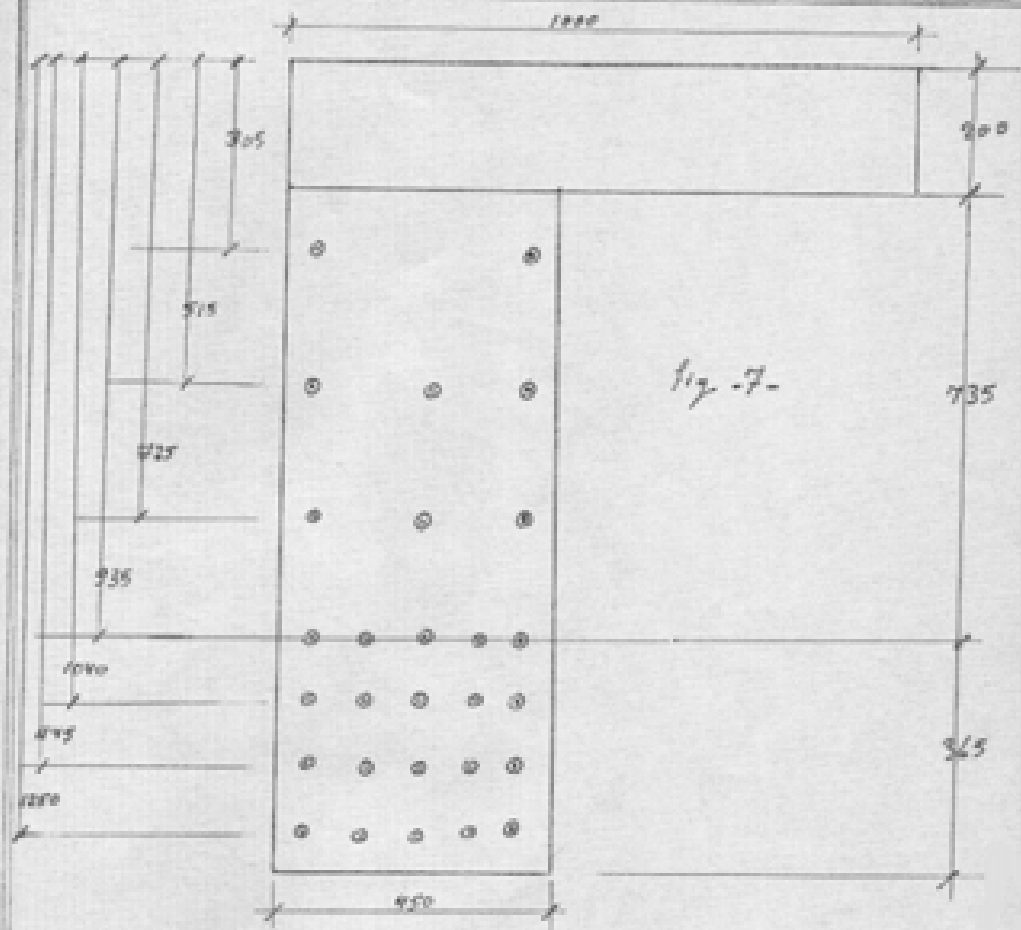
\therefore All stresses satisfactory.

Note: we can repeat our design procedure with lesser % calculated

Ref.	Calculations
BS8110 T 2.2	'Ultimate Limit state'
	Bending
	$f_{pu} \text{ for strand} = \frac{227 \times 10^3}{138.7} = 1637 \text{ N/mm}^2$
	$\gamma_m = 1.15$
	$f_{pu} / \gamma_m = 1637 / 1.15 = 1423$
	at midspan losses = 18.85%
	final stress in tendons
	$f_{pe} = 1637 \times \frac{70}{100} \times \frac{81.83}{100} = 935 \text{ N/mm}^2$
From stress/strain curve this corresponds to a	
strain $\epsilon_{ps} = 0.00465$	
The ultimate moment carrying capacity of	
the beam is determined using strain compatibility	
& stress/strain curve	

Ref.

Calculations



Ref	Calculation																																																								
	<p>a. beam cross section b. strain diagram c. stress block diag.</p> <p>Fig - 9 -</p> <p>$\epsilon_b = 0.0035 \left(\frac{d-x}{x} \right)$ Try $x = 230 \text{ mm}$ Compression = $\frac{0.45 \times 50}{1000} [1000 \times 200 + 7 \times 450] = 4570 \text{ kN}$</p> <table border="1"> <thead> <tr> <th>Level</th> <th>σ_s</th> <th>σ_b</th> <th>ϵ_s</th> <th>stress N/mm^2</th> <th>Area mm^2</th> <th>force kN</th> </tr> </thead> <tbody> <tr> <td>1</td> <td>0.00465</td> <td>0.01532</td> <td>0.02</td> <td>1.331</td> <td>693.5</td> <td>923</td> </tr> <tr> <td>2</td> <td>0.00465</td> <td>0.01392</td> <td>0.0186</td> <td>1.284</td> <td>693.5</td> <td>890</td> </tr> <tr> <td>3</td> <td>0.00465</td> <td>0.0123</td> <td>0.017</td> <td>1.2352</td> <td>693.5</td> <td>857</td> </tr> <tr> <td>4</td> <td>0.00465</td> <td>0.0107</td> <td>0.0154</td> <td>1.187</td> <td>693.5</td> <td>823</td> </tr> <tr> <td>5</td> <td>0.00465</td> <td>0.0095</td> <td>0.012</td> <td>1.09</td> <td>416.1</td> <td>454</td> </tr> <tr> <td>6</td> <td>0.00465</td> <td>0.00434</td> <td>0.00898</td> <td>0.9955</td> <td>416.1</td> <td>414</td> </tr> <tr> <td>7</td> <td>0.00465</td> <td>0.00114</td> <td>0.00379</td> <td>0.9</td> <td>277.4</td> <td>250</td> </tr> </tbody> </table> <p>T and C are within recommended Total tension $\approx 4610 \text{ kN}$</p>	Level	σ_s	σ_b	ϵ_s	stress N/mm^2	Area mm^2	force kN	1	0.00465	0.01532	0.02	1.331	693.5	923	2	0.00465	0.01392	0.0186	1.284	693.5	890	3	0.00465	0.0123	0.017	1.2352	693.5	857	4	0.00465	0.0107	0.0154	1.187	693.5	823	5	0.00465	0.0095	0.012	1.09	416.1	454	6	0.00465	0.00434	0.00898	0.9955	416.1	414	7	0.00465	0.00114	0.00379	0.9	277.4	250
Level	σ_s	σ_b	ϵ_s	stress N/mm^2	Area mm^2	force kN																																																			
1	0.00465	0.01532	0.02	1.331	693.5	923																																																			
2	0.00465	0.01392	0.0186	1.284	693.5	890																																																			
3	0.00465	0.0123	0.017	1.2352	693.5	857																																																			
4	0.00465	0.0107	0.0154	1.187	693.5	823																																																			
5	0.00465	0.0095	0.012	1.09	416.1	454																																																			
6	0.00465	0.00434	0.00898	0.9955	416.1	414																																																			
7	0.00465	0.00114	0.00379	0.9	277.4	250																																																			

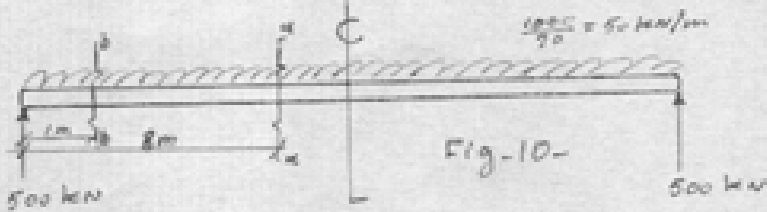
Ref.	Calculations			
	Depth to center of Compression			
	$= 0.45 \times x = 0.45 \times 230 = 103 \text{ mm from top}$			
	To Calculate moment of resistance			
	level	force	la	M of R kNm
	1	923	1.147	1058
	2	890	1.042	927
	3	857	0.937	803
	4	823	0.832	685
	5	454	0.622	282
	6	414	0.412	170
	7	250	0.202	50
				$\Sigma = 3295 \text{ kNm}$
	GK (kN/m)			
	Dead load from roof = 6 kN/m ²			
	Dead load from walls = 0.8			
	self weight of beam = 12.5			
	self weight of slab = 6			
	finisher & services = 2			
	Total = 26.5 kN/m			

Ref.	Calculations
	<p data-bbox="418 380 625 422">Q_k (kN/m)</p> <p data-bbox="418 436 755 478">from roof = 1.5</p> <p data-bbox="418 493 722 535">from floor = 4</p> <p data-bbox="418 550 657 592">Total = 5.5</p> <p data-bbox="418 646 1291 699">Design load = $1.6 \times 5.5 + 1.4 \times 16.5 = 50 \text{ kN/m}$</p> <p data-bbox="418 751 1128 825">ultimate BM = $\frac{50 \times 20^2}{8} = 2500 \text{ kN.m}$</p> <p data-bbox="418 867 1339 919">Moment of resistance > ultimate BM ✓ o.k</p>

Ref	Calculations
	<p style="text-align: center;">ULTIMATE LIMIT STATE "SHEAR"</p> <p>a) shear force factored = $50 \times 20 = 1000 \text{ kN}$</p> <p>shear stress = $1000 \times 10^3 / 1100 \times 450 = 2 \text{ N/mm}^2$</p> <p>BS 8110 cl 4.3.8.2 shear stress must not exceed $0.8\sqrt{f_{cu}} = 5.65$ or $5 \left. \vphantom{0.8\sqrt{f_{cu}}}$</p> <p>Section uncracked in flexure</p> <p>The design ultimate shear resistance of a section uncracked in flexure</p> <p>cl 4.3.8.4 eq. 54 $V_{cu} = 0.67 b_v h \sqrt{f_t^2 + 0.8 f_{cp} f_t}$</p> <p>where $b_v = 450 \text{ mm}$</p> <p>$h = 1100 \text{ mm}$</p> <p>max. design principle tensile stress at the centroidal axis</p> <p>$f_t = 0.24 \sqrt{f_{cu}} = 1.7$</p> <p>$f_{cp}$ = design compressive stress at the centroidal axis due to prestress</p>

Ref.	Calculations
	<p> $\sigma_{cp} = 14 \times 2/3 = 9.3 \text{ N/mm}^2$ </p> <p> $V_{cc} = 0.67 \times 450 \times 1100 \sqrt{(1.7)^2 + 0.8 \times 9.3 \times 1.7} \times 10^{-3}$ $= 1300 \text{ kN}$ </p> <p> $V < V_c + 0.4 b v_d$ </p> <p> Eq. 4.3.87 Eq. 5.6 $\frac{A_{sv}}{s_v} = \frac{0.4 b v_d}{0.87 f_{yv}}$ </p> <p> for R10 links $A_{sv} = 2 \times 78.5 \text{ mm}^2$ </p> <p> $s_v = 0.87 \times f_{yv} \times A_{sv} / 0.4 \times b v_d$ </p> <p> $= 0.87 \times 460 \times 2 \times 78.5 / 0.4 \times 450$ </p> <p> $= 350 \text{ mm}$ </p> <p> \therefore use R10 @ 350 mm/c - OR use R12 links at 400 mm/c (for practical reasons) </p> <p> for portion AB in Fig 12 and R10 links at 400 mm/c </p> <p> for portion BC in Fig 12 </p>

Ref	Calculations
BS8110 EQ 55 cl 4.3.8.3	<p>for cracked section</p> $V_{cr} = \left(1 - 0.55 \frac{f_{pu}^2}{f_{pu}}\right) V_c b_w d + M_o \frac{V}{M}$ <p>f_{bt} = concrete comp stress due to the effective prestressing force at depth d and distance y from the Centroid of the section which has a second moment of area I</p> $f_{bt} = 11.55 \times \frac{2}{3} = 7.7$ $I = \frac{bh^3}{12} = \frac{0.45 \times 1.1^3}{12} = 0.05 \text{ m}^4$ $y = \frac{1}{6}$ <p>M_o = moment necessary to produce zero stress in concrete at the extreme tension fibre</p> $= 0.8 f_{bt} \frac{I}{y} = 0.8 \times 7.7 \times 0.05 \times 10^3 \times 6 = 1850 \text{ kNm}$

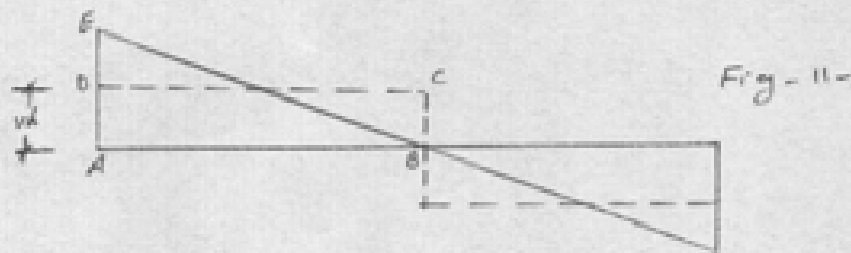
Ref.	Calculations
BS 8110	$100 A_s / b d = \frac{100 \times 28 \times 138.7}{450 \times 735} = 1.175$
T3.9	$v_c = 0.66 \text{ N/mm}^2$
	$f_{pu} \text{ for strand} = \frac{22.7 \times 10^3}{138.7} = 163.7 \text{ kN}$
	<p>at mid span losses = 18.85%</p>
	$f_{pe} = 163.7 \times \frac{70}{100} \times \frac{81.2}{100} = 93.8 \text{ kN}$
	<p>The point at which the section becomes cracked say, 2m from cl</p>
	
	<p>B.M at section a-a in Fig-10-</p>
	$= 500 \times 8 - 50 \times 8 \times 4 = 2400 \text{ kN}\cdot\text{m}$
	<p>shear at that section</p>
	$= 500 - 50 \times 8 = 100 \text{ kN}$

Ref.	Calculations
d. 4.33.6	$V_{cr} = \left(1 - 0.55 \times \frac{230}{1637}\right) \frac{0.66 \times 450 \times 735}{1000} + \frac{185 \times 100}{2400}$ $= 227 \text{ kN} > 100 \text{ kN}$ <p>$\therefore V < 0.5 V_{cr}$</p> <p>No shear reinforcement required</p> <p>Try section b-b fig-10 -</p> $B/M = 500 \times 1 - 50 \times 1 \times 0.5 = 475 \text{ kN}\cdot\text{m}$ <p>shear at that section</p> $= 500 - 50 = 450 \text{ kN}$ $V_{cr} = \left(1 - 0.55 \times \frac{230}{1637}\right) \frac{0.66 \times 450 \times 735}{1000} + \frac{185 \times 450}{475}$ $= 1900 \text{ kN} > 450 \text{ kN}$ <p>also no shear reinforcement required.</p>

Ref.	Calculations
BS 8140 cl 3.4.4.4	<p data-bbox="435 323 987 386">"shear connectors Design"</p> $M_{ult} = \frac{1000 \times 20}{8} = 2500 \text{ kN.m}$ $k = M / b d^2 f_{cu} = \frac{2500 \times 10^6}{450 \times 725^2 \times 50} = 0.2$ $k = 0.156$ $z = d \left(0.5 + \sqrt{0.25 - \frac{0.156}{0.2}} \right) = 570 \text{ mm}$ $x = (d - z) / 0.45 = \frac{735 - 570}{0.45} = 362 \text{ mm}$ <p data-bbox="435 1003 1214 1075">Design horizontal shear force = $\frac{M}{z}$</p> $= \frac{2500 \times 10^6}{570 \times 1000} = 4386 \text{ kN}$ <p data-bbox="435 1247 1166 1310">average horizontal shear force</p> $= \frac{4386 \times 10^3}{350 \times 10000} = 1.25 \text{ N/mm}^2$ <p data-bbox="435 1516 1344 1684">that is to be distributed in proportion to the vertical shear force diagram</p>

Ref.

Calculations

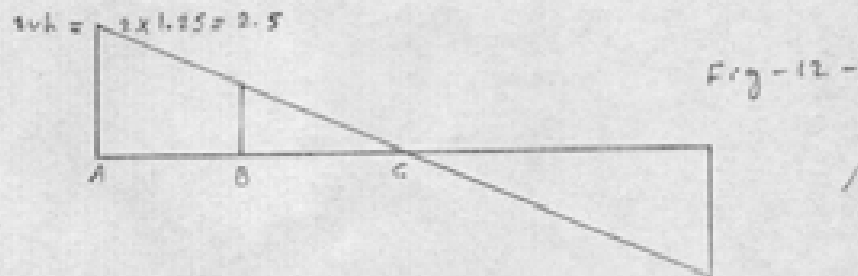


Area ABCD Fig-11- = AEB

$$10 \text{ kN} = \frac{1}{2} \times 10 \times AE$$

$$AE = \frac{2 \times 10 \text{ kN}}{10} = 2 \text{ kN}$$

Average horizontal shear force will be distributed as in fig-12-



for distance AB length 5 m from support
horizontal shear force = 2.5

$$\text{Area of steel} = \frac{10000 \times 2.5 \text{ kN}}{0.8 \text{ t/y}}$$

Ref.	Calculations
	$A_h = \frac{10000 \times 350 \times 2.5}{0.87 \times 2460} = 2186 \text{ mm}^2$ <p>USE R12 mm @ 100 mm/c (2260 mm²)</p> <p>for distance BC</p> $d_h = 1.25 < 2.5$ <p>USE R10 @ 200 mm/c</p>

Ref.	Calculations
	<p>“Design of the precast Composite plank floor”</p> <p>Because it is a part of our prestressed beam we have to use concrete Grade 50 which is a high Grade for that short span slab (2m). For that I will design that slab as simply supported slab carrying dead load (including in situ concrete slabs) plus imposed load.</p> <p>assume fire resistance 1h</p>
BS8110 T3.5	Cover required = 20 mm (mild condition)
T3.10	effective depth = 95 mm
CL 3.4.9.2	total depth = 115 mm effective length = $2 - 0.45 = 1.55$ m

Ref.	Calculations
	<p data-bbox="467 317 1383 380">"Design of the precast Composite plank floor"</p> <p data-bbox="444 436 1383 1178">Because it is a part of our prestressed beam we have to use concrete Grade 50 which is a high Grade for that short span slab (2m). For that I will design that slab as simply supported slab carrying dead load (including in situ concrete sur) plus imposed load.</p> <p data-bbox="444 1241 1003 1293">assume fire resistance 1h</p>
BS8110	
T3.5	Cover required = 20 mm (mild condition)
T3.10	effective depth = 95 mm
	total depth = 115 mm
CL 3.4.9.2	effective length = $2 - 0.45 = 1.55 \text{ m}$

Ref.	Calculations
BS8110 cl 3.12.5 T 3.27	<p>check for minimum percentage of reinforcement</p> $100 A_s / A_c = 100 \times 150.75 / 500 \times 115 = 0.26 > 0.24$ <p>check for shear</p> <p>design shear force = $\frac{qL}{2} = \frac{8.1 \times 1.55}{2} = 6.27 \text{ kN}$</p>
cl 3.4.5.2	<p>shear stress = $\frac{V}{bd} = \frac{6.27 \times 10^3}{500 \times 95} = 0.132 \text{ N/mm}^2$</p> $100 \times 150.75 / 500 \times 95 = 0.316$
T 3.9	<p>$V_c \gg 0.132$</p> <p>No shear reinforcement required.</p> <p>check for wind effects</p> $M = \frac{10.5 \times 3.7 \times 20^2 \times 1.4}{8} = 130 \text{ kN.m}$
cl 3.4.4.4	<p>$k = m / bd^2 f_{cu} = 130 \times 10^6 / 200 \times 190^2 \times 50 = 0.004$</p> $A_s = \frac{130 \times 10^6}{0.87 \times 250 \times 190} = 320 \text{ mm}^2 \text{ use } 3 \phi 12$ <p>dist steel = $\frac{0.13}{100} \times 200 \times 1000 = 300 \text{ mm}^2/m \text{ use } \phi 8 @ 170\%$</p>

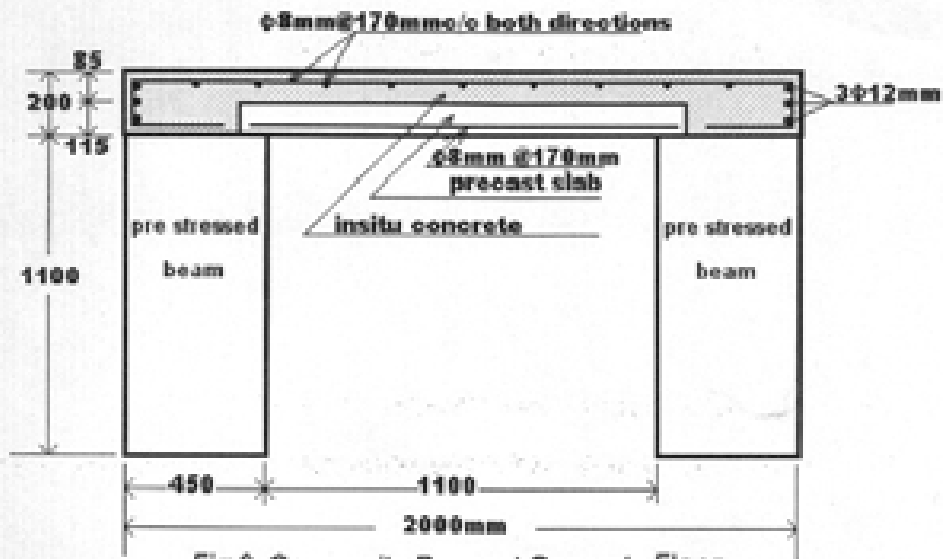


Fig.9 Composite Pre-cast Concrete Floor Reinforcement Details

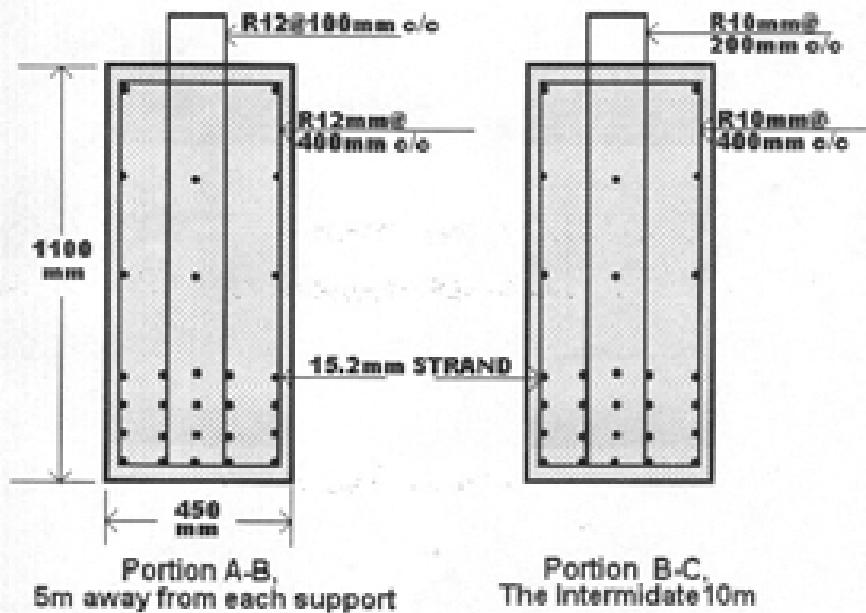


FIG.10 Pre-stressed Beam c/s Reinforcement Details